

Juha Keponen

Hajautettuun tietojärjestelmään perustuva terveyskioski

Sähkötekniikan korkeakoulu

Diplomityö, joka on jätetty opinnäytteenä tarkastettavaksi
diplomi-insinöörin tutkintoa varten Espoossa 5.8.2016.

Työn valvoja:

Prof. Raimo Sepponen

Työn ohjaaja:

TkL Matti Linnavuo



Aalto-yliopisto
Sähkötekniikan
korkeakoulu

Tekijä: Juha Keponen

Työn nimi: Hajautettuun tietojärjestelmään perustuva terveyskioski

Päivämäärä: 5.8.2016

Kieli: Suomi

Sivumäärä:6+54

Sähkötekniikan ja automaation laitos

Professuuri: Bioniikka

Koodi: S-66

Valvoja: Prof. Raimo Sepponen

Ohjaaja: TkL Matti Linnavuo

Tämän diplomityön on tarkoitus jatkokehittää Juha-Matti Santeron kehittämää terveystuolia ja siihen kuuluvaa käyttöliittymää.

Diplomityön tarkoitus on asentaa ihmisen fysiologisia ominaisuuksia mittaava laitteisto terveyskioskiin käyttämällä niin valmiiksi tilattua laitteistoa kuin suunnitteleamalla osa laitteistosta itse. Kioski on tilattu Aalto-yliopiston taiteen ja suunnittelun korkeakoulusta projektityönä.

Teoriaosassa kerrotaan ensin perustietoa mittauksista, minkä jälkeen kerrotaan itse laitteistosta ja sen toiminnasta. Lopuksi annetaan ideoita jatkokehittelyä varten.

Avainsanat: terveystuoli, fysiologia, terveyskioski, hajautettu järjestelmä

Author: Juha Keponen

Title: Health kiosk based on a distributed system

Date: 5.8.2016

Language: Finnish

Number of pages:6+54

Department of Electrical Engineering and Automation

Professorship: Bionics

Code: S-66

Supervisor: Prof. Raimo Sepponen

Instructor: Lic.Sc. (Tech.) Matti Linnavuo

To further develop and improve distributed measurement system to be used in a health kiosk. This platform was made by students from Aalto University School of Arts, Design and Architecture.

The purpose of this health kiosk is to serve students and staff alike to be able to conduct basic health measurements independently in an easy accessible public place.

The theory behind the measurements is firstly discussed in this work. Then the functionality of the system as well as the programming solutions used in this work are laid out. Finally, further development ideas are discussed for future versions.

Keywords: health chair, health kiosk, physiology, distributed system

Esipuhe

Haluan kiittää erikoistutkija Matti Linnavuota loistavasta ohjauksesta sekä perhettäni ja mummiani tukemisestani tämän työn kirjoittamisessa. Lisäksi kiitos siskolleni ja äidilleni työn oikolukemisesta ja ideoista.

Otaniemi, 5. elokuuta 2016

Juha M. Keponen

Sisältö

Tiivistelmä	ii
Tiivistelmä (englanniksi)	iii
Esipuhe	iv
Sisällysluettelo	v
Symbolit ja lyhenteet	vi
1 Johdanto	1
2 Fysiologiset ominaisuudet	3
2.1 Paino	3
2.2 Verenpaine	3
2.3 Sydämen sähkökäyrä	4
2.4 Veren happisaturaatio	5
2.5 Kehon impedanssi	6
3 Terveyskioskin suunnittelu	8
3.1 Kioskin tausta	8
3.2 Tulevaisuuden tavoitteet	9
4 Mittausjärjestely	11
4.1 Arduino Yun	12
4.2 PM6750 moduuli	12
4.3 Painon mittaus	13
4.4 EKG	14
5 Ohjelmointi	18
5.1 Käyttöjärjestelmä	18
5.2 Palvelimen valinta	19
5.3 Kehitysideoita	20
6 Testaus	22
7 Pohdinta	24
8 Lähdekoodi	25
8.1 Arduinon skripti	25
8.2 Python skripti	27
8.3 Serverin koodi	33
8.4 Käyttöliittymän koodi	40
References	52

Symbolit ja lyhenteet

Lyhenteet

ADC	Analog-to-Digital Converter, analogi-digitaalimuunnin
AV node	Atrioventricular node, eteis-kammiosolmuke
BMI	Body Mass Index, painoindeksi
ECG	Electrocardiography, sydämen sähkökäyrä
ECW	Extra-cellular water, solun ulkopuolinen vesi
FFM	Fat-free mass, rasvaton massa
ICW	Intra-cellular water, solun sisäinen vesi
SA node	Sinoatrial node, sinussolmuke
SpO ₂	Veren happisaturaatio
TBW	Total-body water, kehon kokonaisvesi

1 Johdanto

Tulevaisuudessa suurempi osa väestöstä tulee olemaan vanhempia [29], jolloin terveyteen tullaan kiinnittämään yhä enemmän huomiota. Erilaisille itsenäisille digitaalisille järjestelmille, kuten terveystuoleille, älyrannekelloille, älypuhelimille, älysänyille ja erilaisille terveyskioskeille tulee olemassa potentiaalisesti suuret ja kasvavat markkinat [24]. Käyttäjän eri fysiologisia ominaisuuksia mittaavia terveyskioskeja voisi olla esimerkiksi kauppakeskuksissa, lentokentillä tai muilla yleisillä paikoilla. Kioskien käytettävyyden pitäisi olla niin yksinkertaista, että asiakkaat osaisivat käyttää niitä itse ilman apua, tällöin kioskit eivät sitoisi terveydenhoitohenkilökuntaa vaan he voisivat keskittyä hoitoa vaativiin vaivoihin. Käytön jälkeen asiakas voisi tallentaa tiedot johonkin tietokantaan lääkärin nähtäväksi, tulostaa tiedot itselleen tai vain poistaa ne niin halutessaan.

Terveystuolin ja terveyskioskin ero on yleensä siinä, että terveyskioski tarkoittaa pistettä, johon käyttäjä voi mennä yksin mittaamaan terveystietojaan. Kuvassa 1, on nähtävissä Pursuant Health -nimisen yrityksen terveyskioski. Pelkkällä terveystuolilla taas tarkoitetaan yleensä esimerkiksi sairaaloissa olevia tuoleja, joita henkilökunta käyttää. Tällaiset monikäyttöiset asemat ovat käytännöllisiä esimerkiksi iäkkäiden potilaiden terveydentilan arvioinnissa, kun potilaasta voidaan mitata yhdellä kerralla kaikki tarvittava. Tämä on myös potilaiden etu, sillä heidän ei tarvitse stressata ja odottaa pääsyä eri mittauksiin.



Kuva 1: Esimerkki terveyskioskista

Kirjallisuudessa terveyskioskilla voidaan myös tarkoittaa pistettä, jossa kysytään käyttäjältä tietoa esimerkiksi hänen syömistottumuksistaan ja sen perusteella annetaan tietoa asiakkaan terveydestä tai pyritään vähentämään riskikäyttäytymistä, kuten alkoholin liikakäyttöä, tupakointia tai lääkkeiden ja huumeiden väärinkäyttöä. Tässä työssä ei paneuduta tällaisiin kioskeihin, mutta niiden käytöstä terveystiedon levittämisessä on positiivisia kokemuksia [17].

Suomen itsenäisyyden juhlarahasto Sitralla oli käynnissä vuosina 2009–2012 käynnissä kokeilu, jossa Suomen kunnat testasivat terveystuolia. Ensimmäinen terveys-

kioski avattiin Ylöjärven kauppakeskukseen vuonna 2009. Sen jälkeen niitä on avattu eri puolilla Suomea ja vuonna 2013 niitä oli toiminnassa noin 30 kappaletta [26]. Niistä on saatu hyviä kokemuksia [30]. Terveyskioskien hyödyiksi on katsottu matala käyttökynnys, sekä niiden kustannustehokkuus kunnille, kun rutiininomaiset terveystarkastukset voitaisiin ohjata terveyskioskeihin ja vaikeat toimenpiteet terveystietokeskille [18].

Ajantasaista tilastoa terveyskioskien määrästä Suomessa ei ollut saatavilla tässä työssä kirjoitettaessa. Toisaalta, Yhdysvalloissa kioskeja on pelkästään Pursuant Health -nimisellä yrityksellä noin 3400 kappaletta. Muita terveyskioskeja tuottavia yrityksiä ovat muun muassa Wellpoint ja Stayhealthy.

Tämän työn tarkoituksena on kasata terveyskioski. Kioskin runko on tilattu Aalto-yliopiston Taiteiden ja suunnittelun korkeakoulusta. Kioskissa käytettävä ohjelmisto pohjautuu Juha-Matti Santeron diplomityön aiheeseen. Koska työn aiheena olevan terveyskioskin on tarkoitus palvella käyttäjiä itsenäisesti julkisella paikalla, kioskin tulisi olla käytettävyydeltään mahdollisimman yksinkertainen. Näin ollen suoritettavat mittaukset voivat olla vain noninvasiivisia.

Tässä diplomityössä kerrotaan ensin teoriaa yleisimmistä noninvasiivisista mittaustavoista ja miksi juuri näillä mittauksilla saa hyvän kokonaiskuvan käyttäjän terveydentilasta. Yleisimmät mitattavat suureet ovat sydämen sähkökäyrä, veren happisaturaatio (SpO_2), kehon impedanssi ja sitä kautta saatava sisäelinrasva, paino sekä verenpaineen mittaaminen. Teorian jälkeen kerrotaan miten mittaukset on toteutettu tässä työssä.

Tässä työssä on toteutettu käyttäjän painon, veren happisaturaation, pulssin ja verenpaineen mittaaminen. Sydämen sähkökäyrän mittaaminen ilman osaavaa henkilökuntaa on nykyisellään vielä liian monimutkaista luotettavien tulosten saamiseksi. Lisäksi kuivaelektrodien käyttö sähkökäyrän mittaamisessa on liian häiriöaltista johtuen ihon suuresta impedanssista. Näistä syistä itse EKG:n mittaaminen on päätetty jättää pois työstä, mutta sen ohjelmointi on toteutettu koodissa.

Lopuksi pohditaan miten tuolia voi jatkokehittää esimerkiksi parantamalla tuolin käyttöliittymää, lisäämällä rekisteröitymismahdollisuus ennen mittauksia sekä tietojen mahdollista tallentamista esimerkiksi Taltioni-järjestelmään.

2 Fysiologiset ominaisuudet

2.1 Paino

Painon mittausta on pitkään käytetty yhtenä terveyteen liittyvistä parametreista. Liikalihavuus on yhdistetty moniin sairauksiin ja ennenaikaisiin kuolemiin [4]. Paino ei kuitenkaan anna tarpeeksi hyvää kuvaa potilaan terveydentilasta, koska paino ei anna mitään tietoa esimerkiksi sisäelinten rasvamäärästä. Pelkkää painoa tarkempi arvo on painoindeksi (BMI). Sitä on käytetty myös liikalihavuuden mittaamiseen. Painoindeksi saadaan kaavalla: $BMI = w/h^2$, missä w = henkilön paino (kg) ja h = henkilön pituus (m). BMI lukemaa tulkitaan seuraavalla tavalla.

BMI	Painoarvo
Alle 18.5	Alipainoinen
18.5-24.9	Normaali tai tervepainoinen
25.0-29.9	Ylipainoinen
30.0 ja yli	Sairaaloisen ylipainoinen

BMI arvon ja painoarvon välinen yhteys aikuisille [4].

2.2 Verenpaine

Tavallinen sydän pumppaa yli 14000 litraa verta päivässä. Sydän sijaitsee pallean yläpuolella keuhkojen välissä. Sydämessä on kaksi suurta kammiota ja kaksi eteistä. Sydämeen saapuva veri tulee ensin eteiseen, josta se siirtyy kammioon ja sieltä edelleen takaisin verenkiertoon. Verenpaine muodostuu kahdesta osasta. Ensimmäinen ja korkeampi paine, niin sanottu systolinen, johtuu kammion pumppauksesta, jolloin veri työntyy aorttaan ja sieltä edelleen eteenpäin kehossa. Alipaine, niin sanottu diastolinen, muodostuu systolisen paineen jälkeen, kun sydämen kammiot ovat levossa [11].

Verenpaine mitataan yleisimmin kädessä olevan hauislihaksen päälle sijoitetulla mansetilla. Yläpaineen mittaus suoritetaan siten, että mansetti täytetään ilmalla kunnes verisuonet tukeutuvat ja veren kulku estyy. Tämän jälkeen mansetista lasketaan ilmaa kunnes sensori rekisteröi veren virtauksen suonissa. Alipaine saadaan tämän jälkeen siten, että ilmaa päästetään pois kunnes veren virtauksesta ei kuulu enää ääntä. Tämä transitiovaihe kertoo diastolisen eli alipaineen.

Verenpaineen nousu yli 115/75mm Hg on yhdistetty kasvavaan riskiin saada kardiovaskulaarinen sairaus [10]. Verenpaineen mittaamisessa hankaluuksia aiheuttaa yleensä mansetin oikeaoppinen kiinnittäminen. Mansetin pukeminen vaatii yleensä potilaan paidan riisumisen tai vähintään hihan ylös käärimisen. Lisäksi tiukasti tai löysästi kiinnitetty mansetti voi antaa vääriä tuloksia [13]. Markkinoille on kuitenkin tulossa erilaisia laitteita, joissa mansettia ei tarvita lainkaan [27]. Laitteen kiinnitys olisi paljon helpompaa käyttäen esimerkiksi ranneketta. Nämä laitteet pystyvät mittaamaan verenpainetta reaaliajassa [7], mihin mansetti ei pysty. Tällaiset ratkaisut voisivat mahdollistaa sen, että älykellotkin pystyisivät mittaamaan käyttäjän verenpaineen.

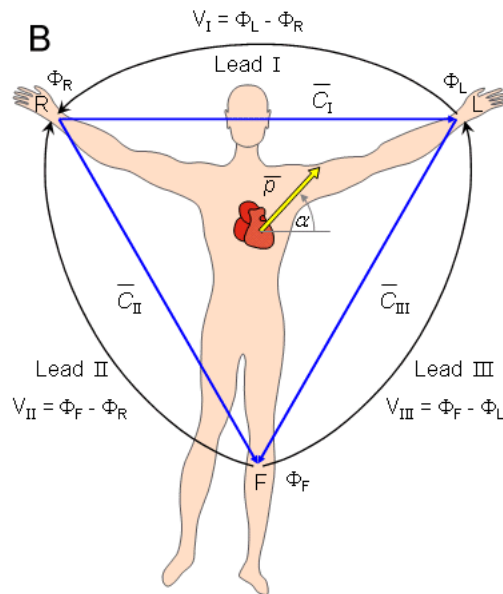
2.3 Sydämen sähkökäyrä

Willem Einthoven julkaisi ensimmäisen EKG-mittausjärjestelyn vuonna 1908. Einthovenin kehittämä kolmiojärjestely toimii nykyisen EKG-mittauksen pohjana [14]. Kuten kuvasta 2 nähdään Einthovenin kolmio mittaa kolmea eri johdinta.

$$\begin{aligned} V_I &= \Phi_L - \Phi_R \\ V_{II} &= \Phi_F - \Phi_R \\ V_{III} &= \Phi_F - \Phi_L \end{aligned}$$

Missä:

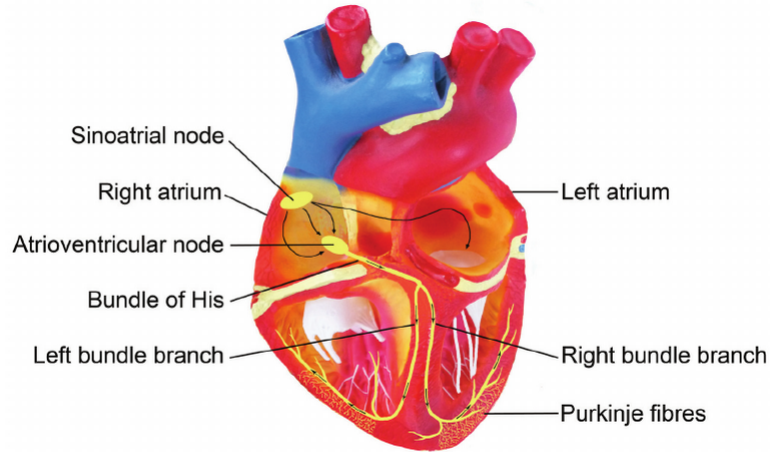
V_I on oikean ja vasemman käden potentiaaliero.
 V_{II} on vasemman jalan ja oikean käden potentiaaliero.
 V_{III} on vasemman käden ja jalan potentiaaliero.
 Φ_L on vasemman käden potentiaali.
 Φ_R on oikean käden potentiaali.
 Φ_F on vasemman jalan potentiaali.



Kuva 2: Einthovenin kolmioasettelu.

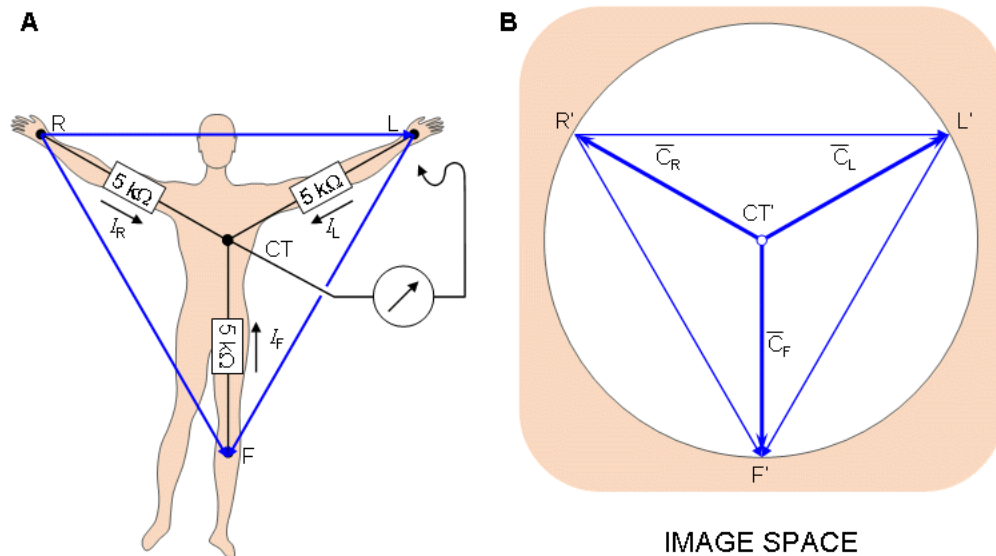
Kun sydän pumppaa verta sen eri osat aktivoituvat eri aikaan. Aktivaatioalue lähtee liikkeelle sydämessä sijaitsevasta sinussolmukkeesta. Sinussolmukkeesta aktivaatioalue etenee sydämen eteisiin. Tämän jälkeen aktivaatioalue etenee eteis-kammiosolmukkeen kautta sydämen kammioihin, kuva 3.

Eri aikoihin tapahtuvat aktivaatiot muodostavat potentiaalieroja, jotka projisoituvat Einthovenin johdinvektoreihin. Myöhemmin Frank Norman Wilson lisäsi Einthovenin järjestelmään keskiterminalin, joka muodostettiin lisäämällä $5k\Omega$ vastus jokaisen kolmen johtimen väliin, kuva 4. Näin saadaan mitattua kolme arvoa



Kuva 3: Sydämen eri aktivaatioalueet. [12]

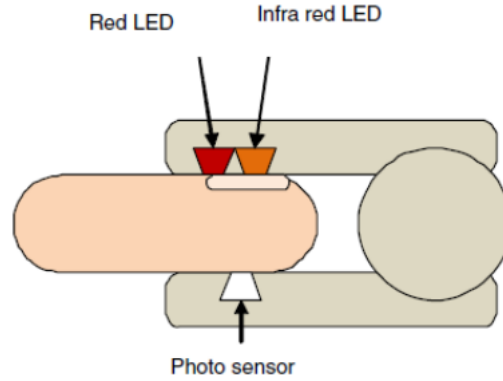
lisää: V_R , V_L ja V_F . Nämä johtimet mittaavat jännitettä käyttäen referenssinä Wilsonin keskitermiä. Nykyisin käytetään yleisesti yhteensä 12 elektrodia, jotta potentiaaliero saadaan mitattua myös syvyysuunnassa.



Kuva 4: Einthovenin kolmoisasettelu johon on lisätty Wilsonin keskitermiä .

2.4 Veren happisaturaatio

Veri sisältää neljää eri tyyppistä hemoglobiinia [19], ja näistä kahta, oksyhemoglobiinia ja deoksyhemoglobiinia, käytetään veren happisaturaation mittaamisessa. Veren happipitoisuus mitataan käyttämällä kahta eripituista valon aallonpituutta: 660nm ja 940nm. Nämä kaksi valoa lähetetään emitteristä vastaanottimeen niin, että emitteri ja vastaanotin sijaitsevat saman kehon osan eri puolilla, esimerkiksi emitteri korvalehden edessä ja vastaanotin korvalehden takana, kuva 5.

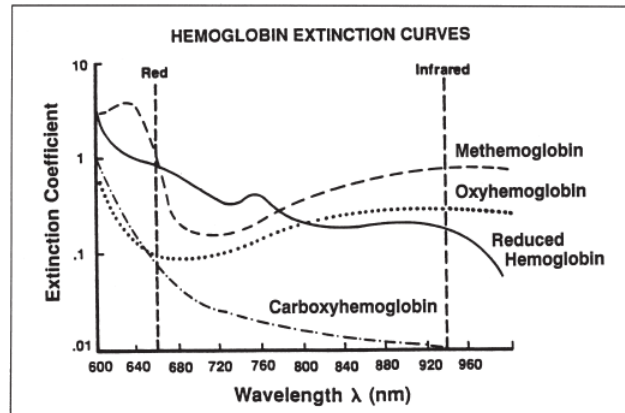


Kuva 5: Havainnekuva happisaturaation mittaamisessa käytettävästä anturista [23].

Happimolekyyli on sitoutunut oksyhemoglobiiniin, joten oksyhemoglobiini absorboi enemmän 940nm valon aallonpituuksia ja päästää 660nm aallonpituuksia läpi. Deoksyhemoglobiini, josta taas puuttuu happimolekyyli, absorboi enemmän 660nm aallonpituutta ja päästää läpi 940nm aallonpituutta. Kuten kuvasta 6 nähdään, näiden absorboitujen valon aallonpituuksien suhteista voidaan laskea veren happipitoisuus. Happipitoisuus saadaan kaavalla

$$SO_2 = \frac{c_{O_2Hb}}{c_{O_2Hb} + c_{HHb}} \quad (1)$$

missä c_{O_2Hb} on happea kuljettavan hemoglobiinin osuus (oksyhemoglobiini) ja c_{HHb} on redusoitu hemoglobiini [22].

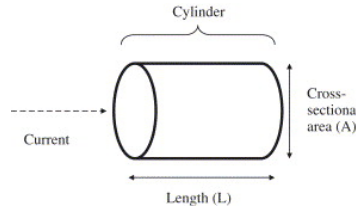


Kuva 6: Hemoglobiinin absorptiokerroin eri aallonpituuksille [19].

2.5 Kehon impedanssi

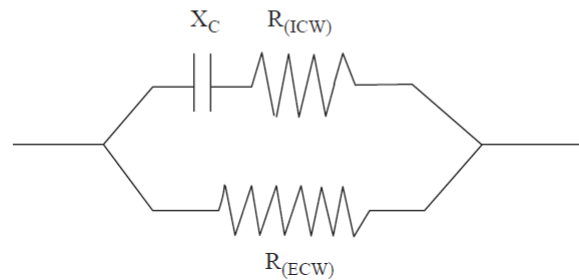
Kehon impedanssilla voidaan mitata kehon sisäisen veden jakautumista solun sisäiseen veteen (ICW) ja solun ulkopuoliseen veteen (ECW). Näitä arvoja mittaamalla voidaan arvioida kehon rasvattoman kudoksen osuus. Kehon voi mallintaa yksinkertaisimmillaan kuten kuvissa 7 ja 8. Näitä ominaisuuksia käyttämällä, yhdessä

henkilön iän, sukupuolen ja etnisen alkuperän kanssa, voidaan arvioida kehon koostumus [5].



Kuva 7: Kehon volyymien impedanssin mallinnus yksinkertaisen sylinterin avulla [5]

Fricke's circuit
Two parallel electrical conductors:
 $R_{(ECW)}$: H_2O-Na
 $R_{(ICW)}$: H_2O-K
isolated by a cell membrane (X_c)



Kuva 8: Yksinkertainen piirikaaviomallinnus solun rakenteesta. Kuvassa X_c kuvaa soluseinämän kapasitanssia, R_{ICW} solun sisäistä resistanssia ja R_{ECW} solun ulkoista resistanssia [5]

Impedanssin mittaamisessa voidaan käyttää yksitaajuusanalyysiä (SF-BIA) tai monitaajuusanalyysiä (MF-BIA). Impedanssi mitataan yleensä käden ja jalan välillä, mutta jotkut instrumentit voivat käyttää myös jalasta jalkaan tai kädestä käteen mittausta [5]. Yksilöille, joiden nestetasapaino on normaali, BIA antaa hyvän arvion rasvattoman kudoksen (FFM) ja kehon kokonaisvesimäärän (TBW) suhteelle. Mittaamisessa on varmistettava, että käytetään oikeaa ikää ja populaatioon liittyviä yhtälöitä. Mikäli potilaan nestetasapaino on järkkynyt BIA-analyysin on todettu antavan epäluotettavia tuloksia [20].

Yksitaajuusanalyysissä käytetään yleensä 50kHz, jolloin sillä mitataan solujen ulkopuolisen veden (ECW) ja solujen sisäisen veden painotettua summaa. Monitaajuusanalyysissä käytetään yleensä taajuuksia 0, 1, 5, 50, 100, 200 ja 500kHz evaluoidessa FFM, TBW, ICW ja ECW osuuksia. Lisäksi mikäli resistanssin ja kapasitanssin yhteydestä muodostaa graafin voidaan bioimpedanssi vektorianalyysillä selvittää mahdollisia epänormaalisuuksia kehossa [15].

3 Terveyskioskin suunnittelu

Tässä työssä toteutettiin terveystuolissa istuvan käyttäjän painon, veren happisaturaation ja verenpaineen mittausta. Käyttäjän painon mittausta toteutettiin käyttämällä kolmea QL-11A painesensoria [21]. Nämä painesensorit on liitetty Arduinon HX711 ad -muuntimeen [1], johon on saatavilla internetistä valmiit kirjastot <https://github.com/bogde/HX711>. HX711-muunnin on puolestaan liitetty Arduinon proto levyyn <https://www.arduino.cc/en/Main/ArduinoProtoShield> ja sitä kautta Arduino Yuniin. Arduino Yun valittiin sen sisäänrakennetun wifin takia, mutta mikä tahansa muu yhteensopiva piirilevy käy.

Muut fysiologiset mittaustiedot saadaan käyttämällä BerryMedin Patient Monitor PM6750 -moduulia [25]. Tämä moduuli kommunikoi tietokoneen kanssa käyttäen hexadesimaali bittijonoja. Kommunikaation hoitaa python skripti, joka on alunperin kehitetty Juha-Matti Santeron diplomityössä [9].

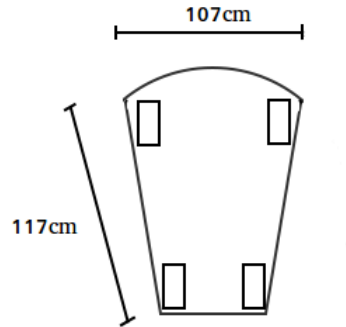
3.1 Kioskin tausta

Tässä työssä käytettävä terveyskioski on rakennettu Aalto-yliopiston Taiteiden ja Suunnittelun korkeakoulussa projektityönä, kuva 9. Kuvissa 10 ja 11 on nähtävissä kioskin mitat. Kioskin on tarkoitus jatkaa Aalto Health Factoryn Terttu terveystuolien kehityskaarta aina mahdollisesti kaupalliseksi sovellukseksi asti. Tämän kioskin tarkoitus olisikin palvella asiakkaita esimerkiksi Aalto-yliopiston aulassa tai jossakin muussa julkisessa tilassa.

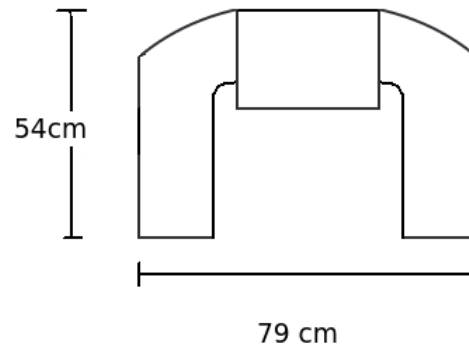


Kuva 9: Terveyskioskin runko.

Merkittävä kehitysaskel verrattuna aikaisempiin Terttu-terveystuoleihin on siinä, että aikaisemmat Terttu-tuolit ovat tallentaneet mitattavien henkilöiden tiedot



Kuva 10: Terveystuolin pohja, paineantureiden paikka on kuvattu neliöillä.



Kuva 11: Terveystuolin torni.

tuolissa olevaan tietokoneeseen. Tässä työssä käytettävällä internet-pohjaisella käyttöliittymällä voidaan mitattavien henkilöiden tiedot tallentaa erilliselle palvelimelle tai johonkin muuhun järjestelmään, kuten esimerkiksi Taltioni-järjestelmään. Näin käyttäjästä mitattuja tietoja pääsisivät tutkimaan esimerkiksi terveydenhuollon ammattilaiset tai henkilö itse.

3.2 Tulevaisuuden tavoitteet

Tässä kappaleessa pohditaan enemmän kioskin mekaanisia kehityskohteita. Käyttöliittymään liittyviä kehitysideoita käsitellään myöhemmin. Tämä versio terveskioskista on aivan liian painava. Seuraavaat versiot täytyisi suunnitella kevyemmistä materiaaleista. Lisäksi konfiguraatiota on hankala liikutella, se ei muun muassa mahdu ovista kuin ottamalla pohjaosan irti. Terveyskioskikonfiguraation pohjalevyyn olisi hyvä saada esimerkiksi taitettavat pyörät, jolloin sen kuljettaminen olisi vaivatonta. Lisäksi painonmittauksen kannalta olisi tiedettävä paljonko pohjalevy painaa itsessään. Näin voitaisiin parantaa mittaustarkkuutta.

Seuraavaan versioon olisi myös hyvä saada liikuteltavat käsinojat. EKG-elektrodien paikka pitää myös selvittää. Nykyisessä konfiguraatiossa antureiden paikka on liian



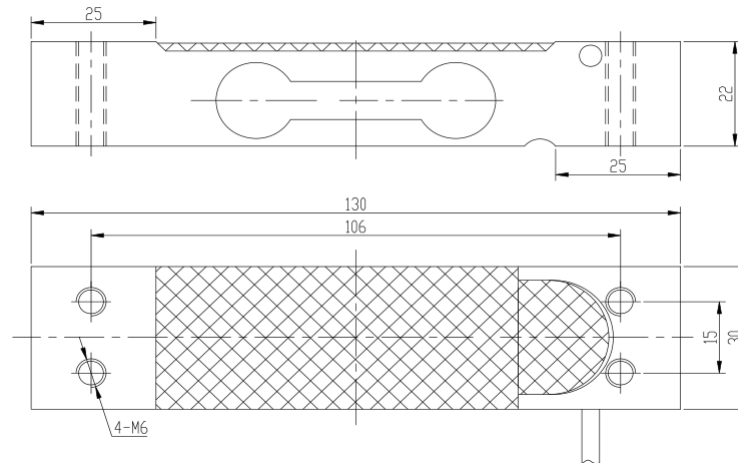
Kuva 12: EKG-elektrodeille suunnitellut paikat tuolin käsivarsissa.

edessä. Ne ovat käyttäjän kämmenien alla, vaikka niiden pitäisi olla käsivarsien alla, kuva 12. Tuoliin olisi myös hyvä lisätä jonkinlaiset kahvat, joista kohdehenkilö voisi ottaa rennosti kiinni käsillä. Näin estettäisiin tahaton käsivarsien heiluminen, mikä puolestaan hankaloittaa EKG-mittauksia.

4 Mittausjärjestely

Mittausten suorittamisessa käytettävä BerryMed PM6750 -potilasmonitori [25] mittaa automaattisesti veren happisaturaatiota ja sydämen pulssia. Käyttäjä voi pyytää mittaamaan verenpaineen erikseen. Painon mittaus tapahtuu neljällä QL11A -painemoduulilla [21], jotka ovat yhdistetty Arduinon HX711 24-bittiseen AD-muuntimeen [1], kuvan 10 mukaisesti. Sensorit on aseteltu pohjalevyn alle reunoihin. Näin yksittäisen sensorin kuormitus ei kasva keskimäärin liian suureksi.

Electrical connection and Dimensions:



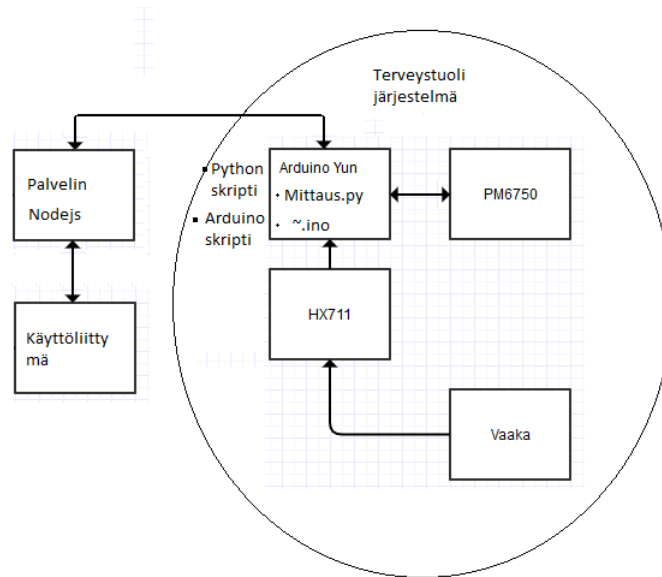
Kuva 13: QL-11A painesensorin rakenne [21].

Tässä työssä käytettävä ohjelmisto on alunperin kehitetty Santeron [9] diplomityössä. Ohjelmistoa on jatkokehitetty siten, että nykyisellään siihen kuuluu neljä osaa, kuva 14.

- Arduinon ATmegassa ajettava .ino skripti.
- Arduino Yunissa ajettava python skripti.
- Palvelimella oleva javascript serveri.
- Html käyttöliittymä.

Järjestelmä toimii siten, että Arduino Yunissa pyörii python skripti *mittaus.py*. Tämä skripti kommunikoi sekä PM6750-moduulin kanssa että HX711 ADC -moduulin kanssa. PM6750-moduulin kanssa kommunikointi tapahtuu hexadesimaalimerkkijonoina, joista *mittaus.py* rakentaa json-tietueen lähetettäväksi palvelimelle. Painon miHX711-moduulin kanssa kommunikointi tapahtuu siten, että Arduino Yunin ATmega prosessorilla ajetaan arduino skriptiä. Arduino skripti käyttää ilmaiseksi internetistä saatavaa *HX711.h* kirjastoa [2] analogisen painosignaalin muuntamiseen digitaalseksi. Kommunikointi arduino skriptin ja python skriptin välillä tapahtuu käyttäen Bridge-kirjastoa.

Palvelimella pyörivä javascript on ohjelmoitu niin, että siihen voi yhdistää useampia terveystuoli-järjestelmä. Tällaista järjestelmää ei ole vielä testattu, joten lisätyötä on tehtävä mikäli sellainen halutaan toteuttaa tulevaisuudessa. Lisäksi tallennusmahdollisuutta ei toteuteta tässä työssä. Tietojen erilaisia tallennusmahdollisuuksia pohditaan tämän työn lopussa.



Kuva 14: Mittausjärjestelmä pohjautuen [9] diplomityöhön.

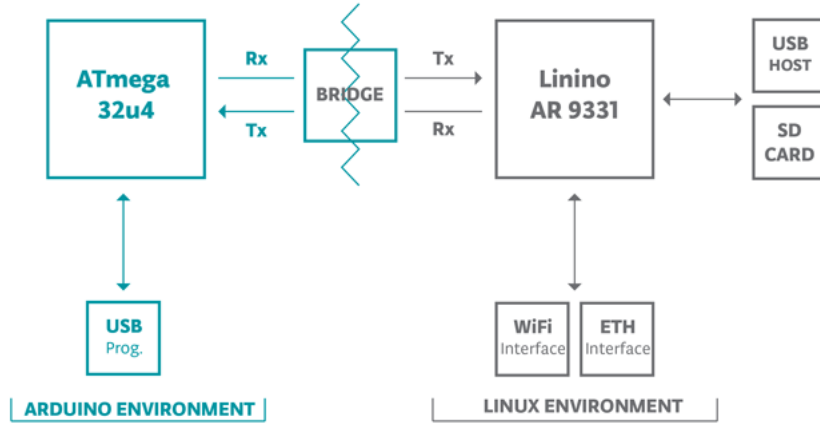
4.1 Arduino Yun

Arduino Yuniin <https://www.arduino.cc/en/Main/ArduinoBoardYun> pitää asentaa kmod-usb-serial ja kmod-usb-serial-pl2303 paketit käyttäen opkg pakettien hallintajärjestelmää. Ilman niitä PM6750 moduulia ei voi lukea usb-serial muuntajaa käyttäen. Lisäksi, jotta Arduinon sketchi toimisi parhaiten se on ajettava aina, kun Arduinon käynnistää uudestaan.

4.2 PM6750 moduuli

PM6750-moduulia käytetään veren happisaturaation, pulssin, sydämen sähkökäyrän sekä verenpaineen mittaamiseen. Moduuli on mahdollista liittää tietokoneeseen joko bluetoothilla, USB Standardi-B:tä käyttämällä tai serial-liitännällä. Tässä työssä moduuli liitettiin käyttäen usb-serial adapteria sillä USB-B liitäntä vaatisi PM6750-moduulin omat ajurit, joita ei ole saatavilla linuxille. Moduulin käyttö on verraten yksinkertaista. Moduuli lähettää ja vastaanottaa paketteja heksadesimaaleina, näistä paketeista python skripti parsii komentoja edelleen serverille. Jokainen paketti koostuu viidestä osasta.

1. Kahden tavun pituinen tunniste.



Kuva 15: Arduino Yunin kaaviokuva.

2. Paketin pituus.
3. Paketin tyyppi, esimerkiksi EKG tai Verenpaine.
4. Itse paketin sisältö.
5. Tarkistussumma.

Taulukossa 1 on nähtävissä esimerkkipaketti moduulilta tietokoneeseen. Paketti kuvaa EKG käyrää eri kanavilta. Paketin kaksi ensimmäistä osaa ovat tunnisteet 0x55 ja 0xAA. Tunnisteiden jälkeen on paketin pituus $N = n + 2$, missä n on paketin dataosan pituus tavuissa. Sen jälkeen on paketin tyyppi, jonka koodi 0x01 viittaa tässä tapauksessa EKG aaltoon. Seuraavana on itse sisältö ja viimeisenä on tarkistussumma, joka lasketaan kaavalla $SUMMA = NOT(N + A1 + \dots + An)$.

Tunniste		Pituus	Tyyppi	Data A1..n	Tarkistussumma
0x55	0xAA	0x0A	0x01	0x80 ... 0x80	0x74

Taulukko 1: Esimerkkipaketti

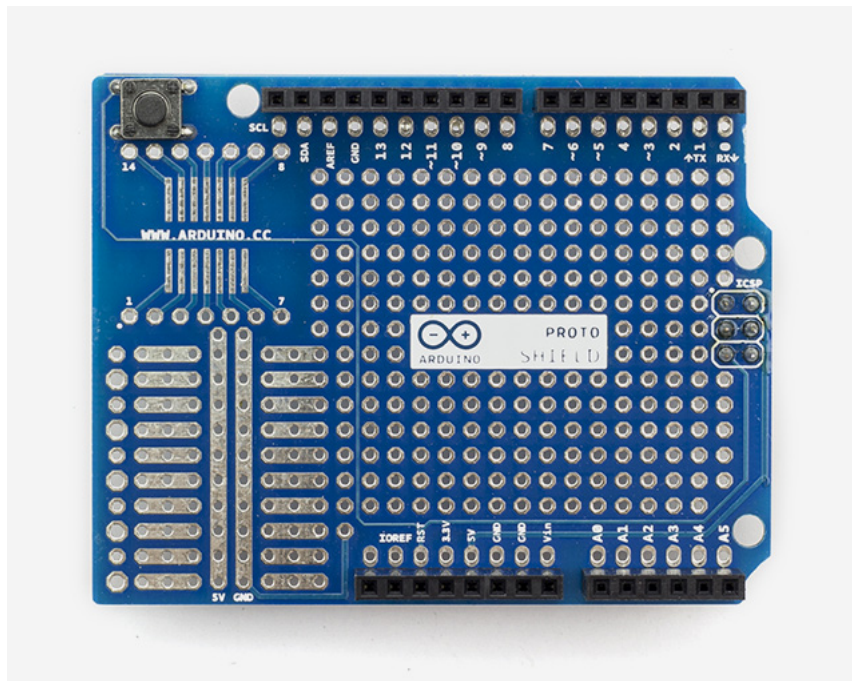
Python skripti käsittelee PM6750-moduulilta tulevaa jatkuvaa pakettivirtaa siten, että skripti ottaa bufferiin 200 tavun pituisen jonon, jonka se käy läpi ja siirtyy sen jälkeen taas odottamaan, että bufferi täyttyy. Tarkistussumman hyödyntämistä ei käytetä tässä työssä, koska sen toteuttaminen ei nähty olevan oleellinen osa työtä. Tämä siitä syystä, että terveystietokoneesta saatava data ei ole verrattavissa sairaalaympäristössä tapahtuviin mittauksiin, joissa potilaan henki saattaa pahimmassa tapauksessa vaarantua mikäli virheellinen paketti sotkisi jonkin mittauksen.

4.3 Painon mittaus

HX711-moduulissa on kaksi sisääntulokanavaa A ja B. Kanava A päätettiin valita, sillä siinä on suurempi vahvistus kuin kanavassa B. Neljä painesensoria on kiinnitetty terveystuolin pohjaan ja niiden johdot on kolvattu HX711-moduulin sisääntuloon

siten että punainen on kolvattu plus sisääntuloon, musta miinus sisääntuloon, ja vihreä ja valkoinen signaaleihin. HX711-moduuli osaa automaattisesti laskea painesensoreilta tulevan datan ja keskiarvoistaa sen, jolloin riittää että Arduinon skriptissä kutsutaan HX711.h kirjaston `get_unit` -funktiota. Tämä funktio palauttaa sensoreilta tulevan arvon.

Arduinon skriptiin on lisätty kerroin, joka muuttaa painesensorilta tulevat arvot kiloiksi. Kerroin näyttää henkilön painon kilon tarkkuudella. Tämä on tarpeeksi riittävä tähän työhön. Tarkempaa kerrointa varten täytyisi tietää muun muassa terveystuolin alustan paino, joka ei ole tiedossa. Lisäksi, kioskin käyttäjillä tulee olemaan vaatteet päällä mittaushetkellä, joten kilon tarkkuus nähtiin riittäväksi. Tarkkuuden muuttaminen myöhemmin tarpeen vaatiessa on yksinkertaista, mikäli siihen on tarvetta.



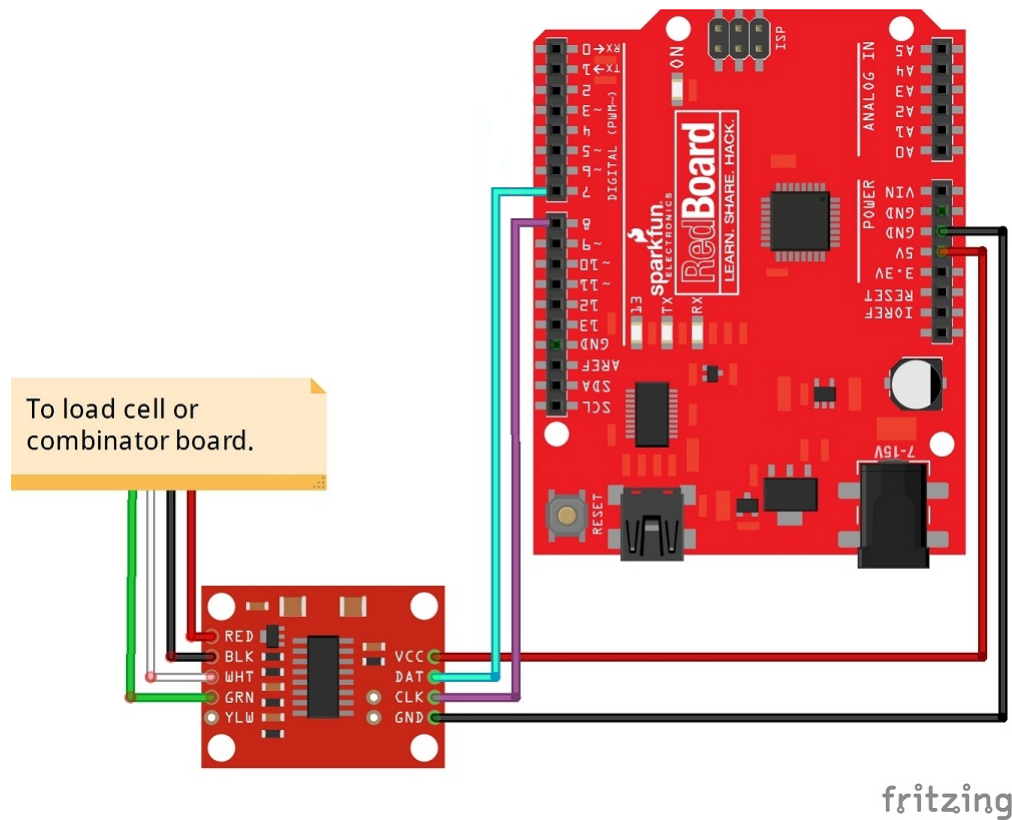
Kuva 16: Arduino Protoshield levy.

Painoindeksin laskenta suoritetaan siten, että käyttäjä syöttää oman pituutensa senttimetreinä sille varattuun tilaan, josta se sitten lasketaan käyttäen vaa'alta saatua painoa apuna.

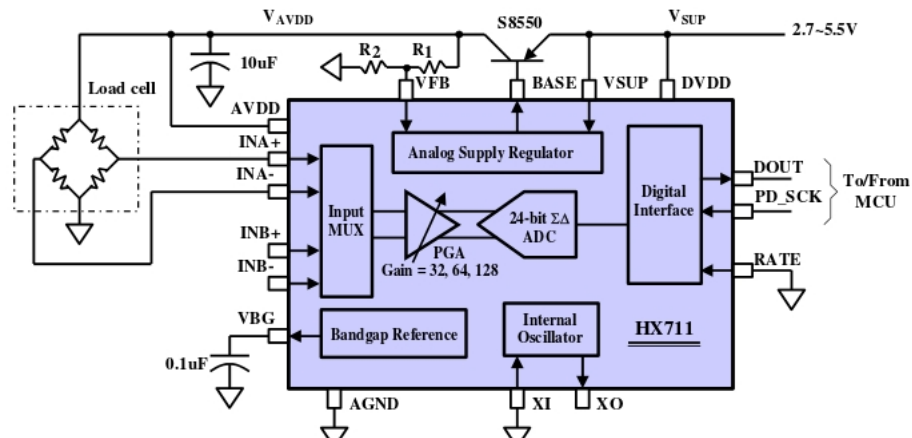
4.4 EKG

Sydämen sähkökäyrän mittaaminen on normaalioloissa hankalaa. Tässä työssä oli ensin ajatus käyttää kuivaelektrodeja. Ne muodostavat yhdessä ihon kanssa liian suuren lähtöimpedanssin, mikä tuottaisi aivan liikaa kohinaa vahvistimeen [6].

Kuvasta 19 nähdään, $V_{in} = \frac{Z_{in}}{Z_{in} + Z_{out}} V$. Jotta signaali siirtyisi vahvistimelle mahdollisimman häiriöttä tulisi olla $V_{in} \approx V$. Tämä saavutetaan vain kun $Z_{in} \gg Z_{out}$.

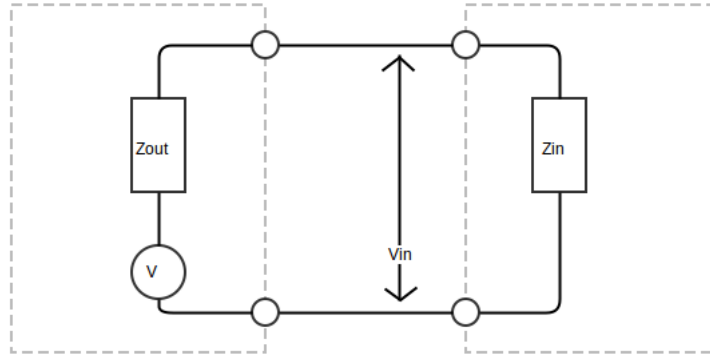


Kuva 17: Paineantureiden juottaminen HX711 AD -muunnintimeen ja sen liittäminen Arduino Protoshield -levyyn. <https://learn.sparkfun.com/tutorials/load-cell-amplifier-hx711-breakout-hookup-guide>. Kuvaa muokattu.



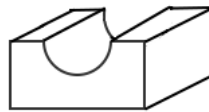
Kuva 18: HX711 AD -muunnin.

Teoriassa kasvattamalla Z_{in} äärettömän suureksi ei tarvitsisi huolehtia Z_{out} :in arvosta, mutta tällöin kaikki signaaliin tulevat virheet moninkertaistuisivat ja näkyisivät ulostulossa, mikä ei ole toivottavaa. Näin ollen ihon ja elektrodin välille olisi pystyttävä muodostamaan mahdollisimman vähäimpedanssinen liitäntä. Elektrodin olisi myös pysyttävä henkilön ranteissa tukevasti kiinni, koska käsien liikuttelu voisi



Kuva 19: Lähtöimpedanssin ja tuloimpedanssin yhteys. Tässä tapauksessa V ja Z_{out} kuvaavat ihon elektrodia ja Z_{in} vahvistimen tuloliitäntää [6].

tuottaa artefakteja signaaliin. Tähän tarkoitukseen sopisi esimerkiksi hydrogeelielektrodi, joka olisi kiinnitetty kuvan 20 rakoon.

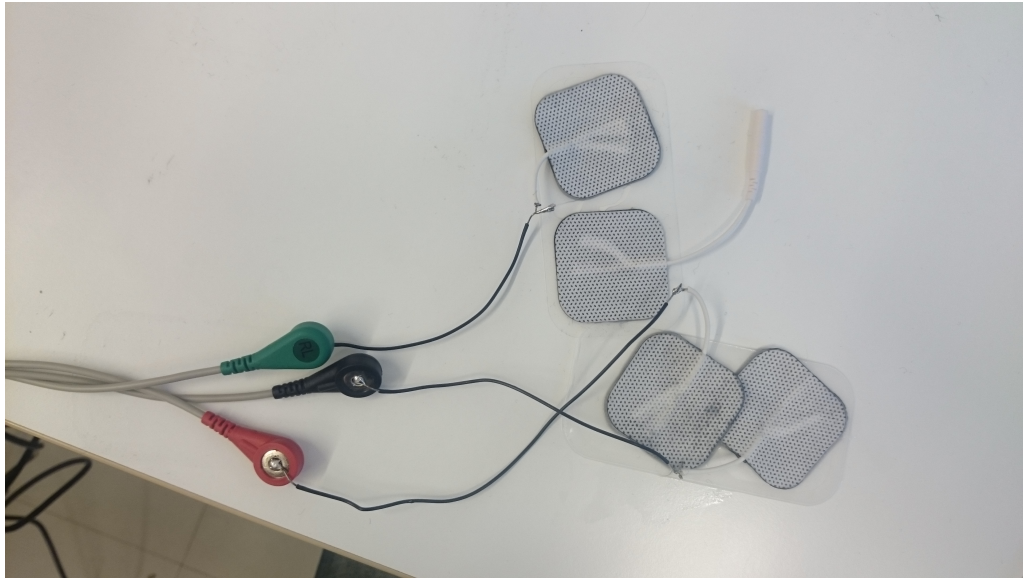


Kuva 20: Mahdollinen EKG elektrodien pidike. Mitattavan henkilön ranne tulisi rakoon, johon elektrodit olisi kiinnitetty.

Hydrogeelielektrodien käyttö olisi suositeltavaa, sillä niiden kiinnittäminen ja irrottaminen on vaivatonta ja nopeaa. Lisäksi hydrogeelin kosteus lisää elektrodin ja ihon yhteistä pinta-alaa ja vähentää ihon uloimman kerroksen eli marraskesin (stratum corneum) suurta impedanssia [16]. Hydrogeelien huonona puolena on tosin niiden melko nopea likaantuminen ja niiden märkä pinta voi tuntua joistakin epämiellyttävältä. Perinteisiä EKG-elektrodeja käyttämällä saataisiin tarkemmat mitaustulokset, mutta niiden kiinnittäminen on hankalaa ilman osaavaa henkilökuntaa. Lisäksi ne on vaihdettava jokaisen mittauksen jälkeen.

Kokeilimme ensimmäiseksi Clas Ohlsonilta saatavia tens-elektrodeja <http://www.clasohlson.com/uk/Tens-Electrodes/34-4103-1>. Näiden elektrodien impedanssi oli kuitenkin megaohmien luokkaa, mikä on aivan liikaa vaadituilta elektrodeilta. Lisäksi tens elektrodien käyttö olisi käyttäjälle epämieluisa kokemus niiden märkyyden takia ja olisi otettava myös huomioon hygienia käyttäjien välissä. Myös elektrodien uudelleen kosteuttaminen on erittäin epäkäytännöllistä 21. PM6750 moduulin EKG-elektrodien tuloimpedanssit ovat luokkaa 10M ohmia. Ideaalisten elektrodien impedanssi saisi olla luokkaa 0.1M ohmia.

Seuraavassa taulukossa 2 on esitetty yhteenvedo erityyppisistä EKG-elektrodeista.



Kuva 21: Tens elektrodit on kolvattu PM6750 moduulin EKG liittimiin.

EKG-elektrodi	+	-
Hydrogeeli	Pieni impedanssi Nopea kiinnittää	Epämiellyttävä iholle Voi irrota
Perinteinen	Pieni impedanssi	Hankala kiinnittää
Kuvaelektrodi	Mukava iholle Ei tarvetta kiinnittää	Suuri impedanssi Häiriöille altis

Taulukko 2: EKG-elektrodien vertailu

5 Ohjelmointi

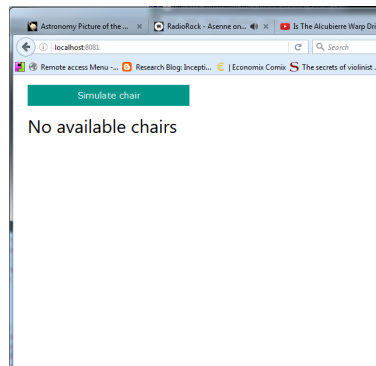
Tämä työ pohjautuu pääosin Juha-Matti Santeron diplomityöhön [9]. OpenWrt:ssä ajettavaan python scriptiin on lisätty HX711-sensorilta tuleva data, jota lähetetään Bridge-moduulin yli linuxin puolelle. Lisäksi koodiin on lisätty EKG-signaalin jokainen kanava, johtimen valinta, vahvistuksen säätö sekä taajuusalueen valinta. Arduinon .ino tiedosto käynnistää myös python skriptin siten, että python skriptille annetaan palvelimen osoite argumenttina.

```
linuxScript.runShellCommandAsynchronously("python
/root/pyscripts/mittaus_v5.py -s <iposoite>");
```

Tällöin ei tarvitse ottaa selville Arduinon ip-osoitetta vaan riittää tietää mihin palvelimeen halutaan yhdistää.

5.1 Käyttöjärjestelmä

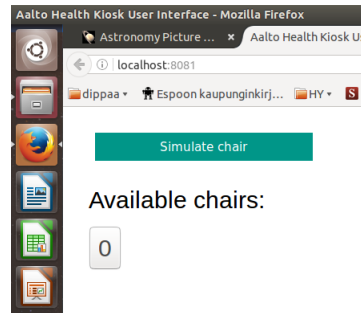
Käyttöjärjestelmä on selainpohjainen. Sen ulkoasun suunnittelussa on käytetty apuna w3.css-kirjastoa. Sivun toimivuutta mobiililaitteilla on kokeiltu vain Android-käyttöjärjestelmän laitteella. Sivujen saaminen mobiililaitteille toimivaksi vaatii vielä lisää työtä. Käyttöliittymä on nähtävissä kuvissa 23, 24 ja 25. Käyttöliittymän kieli on tällä hetkellä vielä kokonaan englanti, koska silloin myös suomea osaamattomat voivat käyttää kioskia alkuvaiheessa. Myöhemmin sivuille voi tulla lisä eri kielivaihtoehtoja.



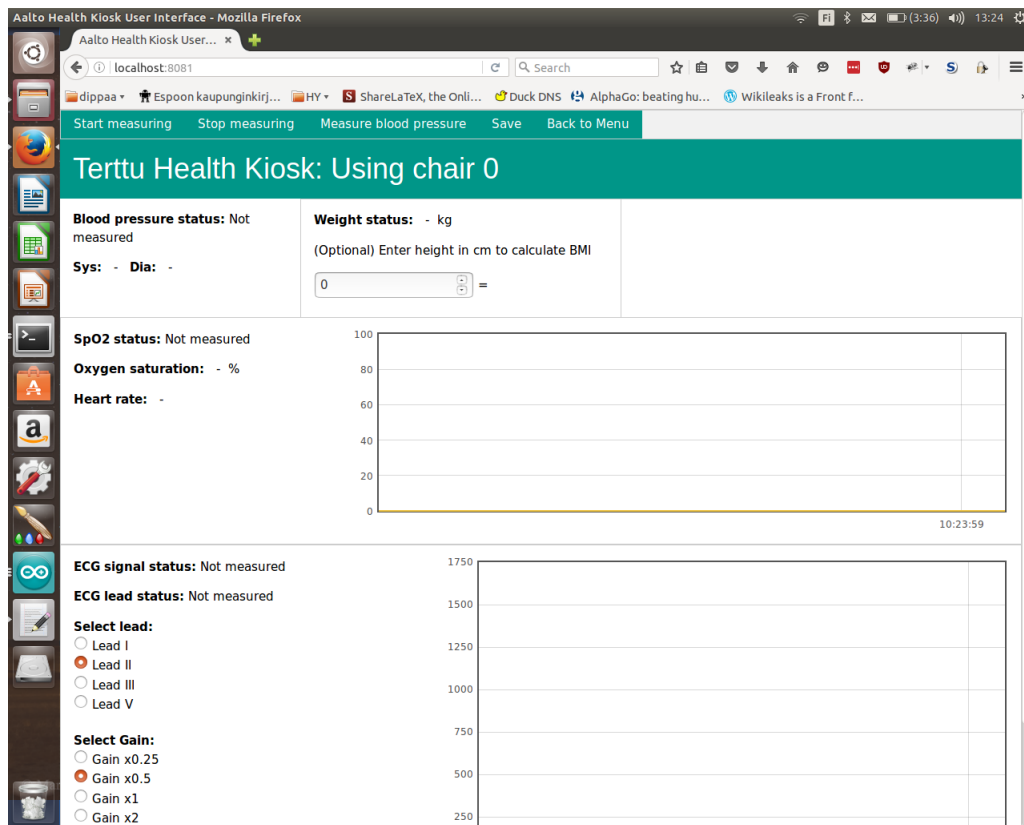
Kuva 22: Terveyskioskin käyttöliittymän valikko.

Sivun ulkoasua voi jatkosuunnitella entistä käyttäjäystävällisemmäksi esimerkiksi käyttämällä internetistä saatavia ilmaisia css tyylejä, esimerkiksi <http://www.dynamicdrive.com/style/>.

Nykyisin pilvipalvelujen käyttö on lisääntynyt muun muassa Dropboxin ja Google Driven myötä. terveyskioski tulisi tehokkaiteen käyttöön, mikäli käyttäjillä olisi omat profiilit ja heidän tietonsa tallentuisivat jollekin pilvipalvelimelle esimerkiksi Taltioni-järjestelmään. Taltioni-terveystiliä ylläpitää Hyvis-ICT Oy [28]. Käyttäjän luomaan taltioni tiliin voidaan liittää myös erilaisia palveluja esimerkiksi Terveystalon Oma



Kuva 23: Terveyskioskin käyttöliittymän valikko, kun tuoleja on vapaana.

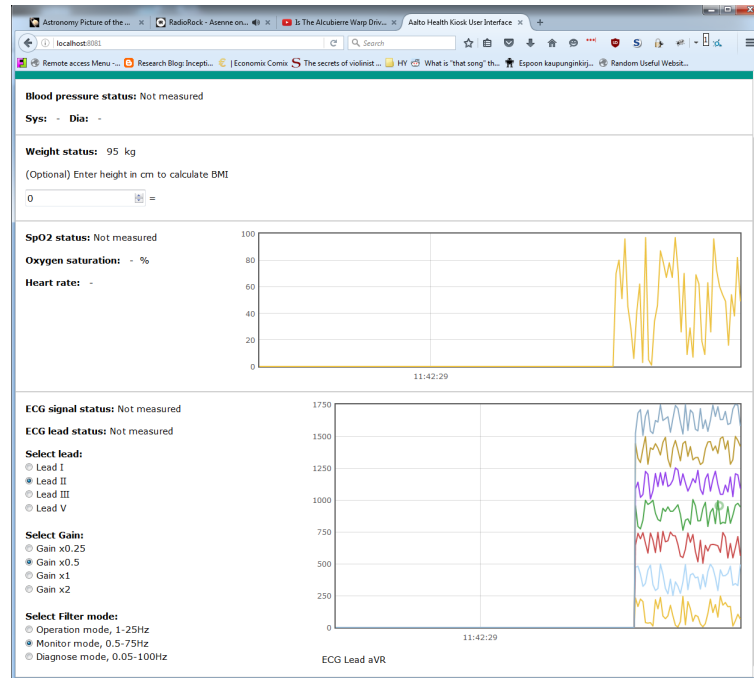


Kuva 24: Terveyskioskin käyttöliittymä.

Terveys -palvelu. Mikäli tuolin mittaamat tiedot tallennettaisiin Taltioniin, tarvitaan paljon jatkokehittämistä ohjelmiston saamiseksi yhteensopivaksi järjestelmän kanssa.

5.2 Palvelimen valinta

Tätä työtä varten saatii Aalto IT:stä lainaan virtuaalinen Windows Server 2012, jossa palvelinohjelmiston oli tarkoitus pyöriä. Pian osoittautui kuitenkin, että Windows serverin saattaminen toimintakuntoon on erittäin haastavaa verrattuna Linux palvelimeen, jossa nodejs palvelimen saa ajokuntoon yhdellä komennolla ja tarvittavat



Kuva 25: Terveyskioskin käyttöliittymä simuloiduilla mittauksilla. EKG-liitäntän kanavan nimi näkyy viemällä hiiri kyseisen kuvaajan päälle.

portit saa samoin helposti avattua esimerkiksi käyttämällä Uncomplicated Firewallia.

Tässä työssä tarvitaan tcp-porttia 6000 ja 8081. Tcp-portin 6000 kautta hoidetaan liikenne Arduinon ja palvelimen välillä ja 8081 hoitaa käyttäjien ja palvelimen välisen liikenteen. Tulevaisuudessa, jos palvelimen ja käyttäjien välinen liikenne halutaan salata siihen tarvitaan tcp-porttia 443.

5.3 Kehitysideoita

Nykyinen Arduinon .ino tiedosto täytyy ajaa joka kerta, kun Arduinoon käynnistää, jotta varmistutaan, että ohjelma toimii sujuvasti. Arduinon .ino tiedoston käynnistäminen käynnistää samalla python skriptin Linuxin puolelta. Seuraava kehityssaskel voisi olla koko python skriptin korvaaminen Arduinon idestä käsin ajettavalla .ino tiedostolla. Tämä skripti hoitaisi silloin kaiken kommunikaation niin serverille kuin PM6750 moduulille. Tämä voisi olla onnistua käyttämällä Arduinon Bridge-moduulia.

Terveystuoli tarvitsee lisäksi käyttöjännitteen, joka tällä hetkellä hoituu verkkovirralla. PM6750 moduuli tarvitsee DC 12V, 3A ja Arduino 5V jännitettä, jonka se saa micro-usb liittimen kautta. Koska terveystuolikokonaisuus on varsin painava ja hankalasti liikutettava, ei ole tarvetta hankkia erillisiä akkuja vaan käyttöjännitteen voi hoitaa verkkovirralla tuolin läheltä.

Arduinon yhteyttä palvelimelle ei myöskään ole salattu, eikä myöskään html liikennettä palvelimelle. Tässä on kehitettävä mahdollisten väärinkäytösten varalle

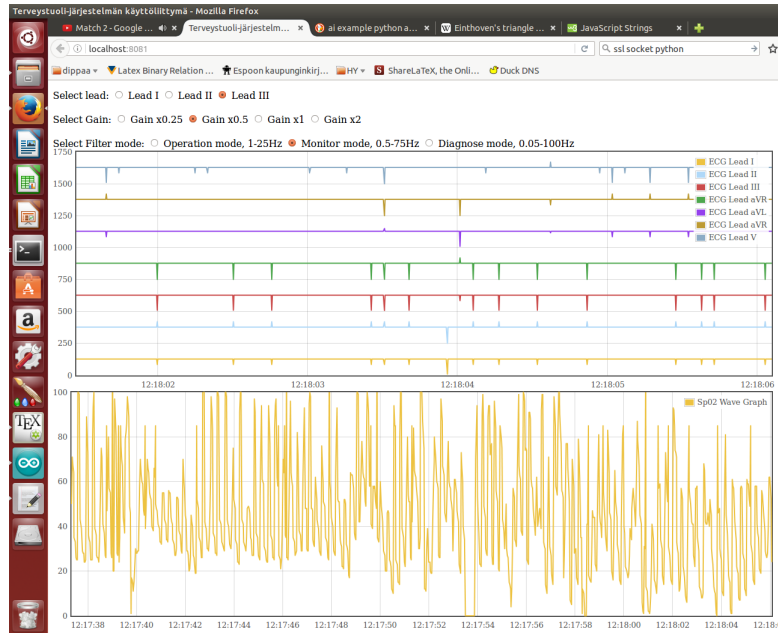
salattu liikenne tuolin ja palvelimen välillä kuin myös palvelimen ja webbisivun välille.

EKG:n mittaaminen tällaisella mittausjärjestelmällä on hankalaa, johtuen niin käyttäjien osaamisesta kiinnittää elektrodit, kuin myös elektrodin ja ihon välisestä impedanssista. Varsinkin jos halutaan luotettavia tuloksia myöhempää käyttöä varten. Tästä syystä EKG:n mittaaminen on tarpeetonta nykyisessä sovelluksessa. Ainakin niin kauan kunnes elektrodin ja ihon impedanssi saadaan tarpeeksi pieneksi ja käsille saadaan rakennettua jonkinlainen kehikko, missä niiden liike olisi minimaalista. Ideaaliset elektrodit olisivat vähäimpedanssisia kuivaelektrodeja, mutta sellaisia ei tämän työn tekohetkellä ollut saatavilla.

Toimivia mobiilisivuja varten on saatavilla internetistä erilaisia ilmaisia ja maksullisia ohjelmia joilla on mahdollista kääntää internetsivut mobiililaitteille sopiviksi. Näitä ovat esimerkiksi <http://bmobilized.com/> ja <https://www.dudamobile.com/>. Näitä kokeiltaessa sivut eivät kuitenkaan toimineet halutusti, lisäksi nousee kysymys tietoturvasta. Parempi idea onkin saattaa sivut toimiviksi ilman kolmansia osapuolia.

6 Testaus

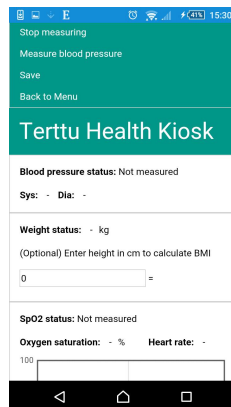
Ensimmäiset testien perusteella ohjelma toimii kaatumatta, mutta pitkän ajan päästä signaaleihin näyttäisi syntyvän häiriötä. Tämän häiriön nollautuminen kestää hetken ennen kuin mitattava signaali saadaan näkyviin. Senkin jälkeen saatava signaali näyttää aika häiriöiseltä, kuten kuvasta 26 nähdään.



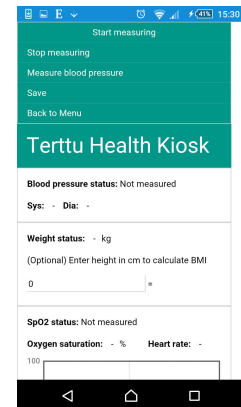
Kuva 26: SpO2 signaalin muoto, kun ohjelman on annettu olla päällä ennen mittaus-ta. EKG signaalissa on myös nähtävissä häiriöitä.

Käyttöliittymän testaus Internet Explorer -selaimella toimii osittain. Tuolien simulaatiota kokeiltaessa huomattiin, että happisaturaatio- ja EKG-kuvaajat päivittyvät, mutta muuten data ei päivity serveriltä käyttöliittymään. Tämä on mielenkiintoinen ilmiö, sillä muilla selaimilla (Mozilla Firefox ja Chrome) kokeiltaessa kaikki kentät päivittyvät niin kuin pitääkin. Lisäksi, Internet Explorer ei anna konsoliin mitään virheilmoitusta, joten ongelma voi liittyä ie:n ominaisuuksiin.

Mobiiliversio käyttöliittymästä on myös vielä keskeneräinen ja siinä esiintyy muutamia bugeja. Esimerkiksi mobiililaitteen kääntäminen vääristää hieman /div elementtien kokoa näytöllä vrt. kuvat 27a ja 27b. Lisäksi kuvaajien kokoa pitäisi suunnitella käyttäjälle mieluisemmaksi.

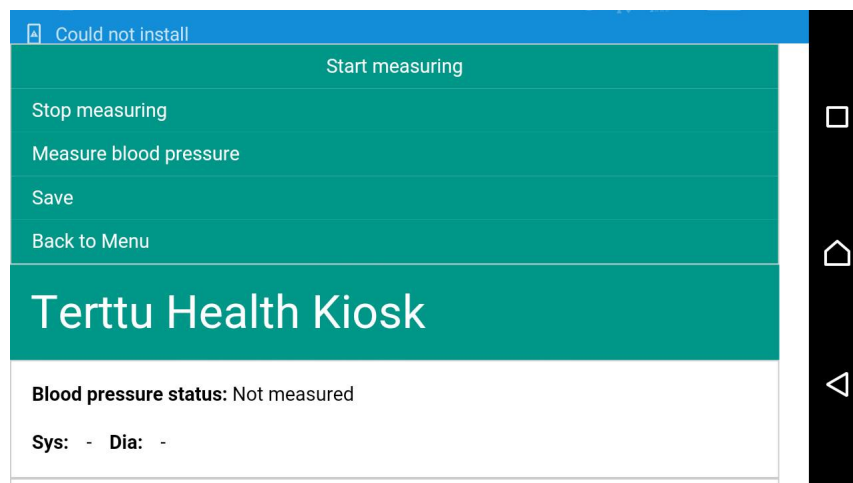


- (a) Mittausvalikko ennen mobiililaitteen kääntämistä vaakatasoon.



- (b) Mittausvalikkojen koko on muuttunut. Oikeaan laitaan on tullut rako mobiililaitteen kääntämisen jälkeen.

Kuva 27: Mittausvalikko kuvattu Sonyn Z1 compactilla.



Kuva 28: Mittausvalikko mobiililaitteen ollessa vaakatasossa.

7 Pohdinta

Tässä työssä on parannettu ja muokattu käyttöjärjestelmän koodia sopivammaksi eri alustoille (erikokoiset tabletit, älypuhelimet). Lisäksi mittausten hoitavaa python koodia on yksinkertaistettu ja siistitty, jotta koodin jatkokehitys ja ylläpito olisi mahdollisimman helppoa. Lisäksi koodiin on lisätty painon mittaus ja sitä kautta painoindeksin mittaus, joka on myös tärkeä terveyteen liittyvä parametri. EKG:tä varten on lisätty eri kanavia tulevaisuutta ajatellen, kun kioskiiin saadaan toimivat elektrodit. Tämä diplomityö on vahvistanut, että yksinkertaisen terveystietokioskin rakentaminen on erittäin yksinkertaista ja halpaa. Nämä ovat hyvät lähtökohdat kaupallisesta näkökulmasta. Alla on listattu kioskissa käytettyjen komponenttien hinta. Listasta nähdään että kioskin voi hyvin rakentaa noin 600 eurolla.

- HX711 ad-muunnin, 8.95 euroa
- Arduino Yun, 52 euroa
- 3*QL-11A painesensori, ei hintaa saatavilla
- Materiaalikustannukset ei saatavilla
- PM6750-moduuli, 360 euroa

On vielä tehtävää, jotta Aalto Health factoryn Terttu-terveystuoleista saataisiin kaikki niihin liittyvä potentiaali irti. Tätä työtä on ollut erittäin mielenkiintoista tehdä ja opiskella uusia asioita käyttöliittymän ja palvelimen kommunikaatiosta.

Turvallisuudesta, etenkin IoT:n kehittyessä erinäiset tahot ovat kiinnostuneita niiden tallentamien tietojen hyödyntämisestä [8]. Tietoturvan täytyy olla kunnolla suunniteltu siinä vaiheessa, kun kioskia aloitetaan asentamaan julkisiin tiloihin. Pythonille on saatavilla *ssl* ja *smtplib* kirjastot, joilla palvelimelle lähetetyt soketit voidaan salata. Internetistä on myös saatavilla ilmaisia ssl-sertifikaatteja palvelimelle esimerkiksi <https://letsencrypt.org/>.

Kioskin seuraavaa versiota varten olisi hyvä, jos sen rungon suunnitteluun osallistuisi myös ihmisiä Aalto Health Factorylta. Näin saataisiin mahdollisesti paras hyöty irti niin laitteiden asennuksen kuin kioskin liikuteltavuuden ja erilaisten säätöominaisuuksien kannalta. On myös panostettava enemmän resursseja EKG-elektrodien suunnitteluun, jotta käyttäjät voisivat tulevaisuudessa hyödyntää kioskin koko potentiaalia.

Olisi myös suotavaa, että kioskissa olisi erikokoisia mansetteja eri käsille. Ideaalitilannehan olisi sellainen, missä mansetin sijaan verenpainemittauksen hoitaisi reaaliajassa jokin anturi. Tällainen anturiratkaisu olisi suotuisampi myös siitä näkökulmasta, että käyttäjä ei mahdollisesti jännittäisi mittaustilannetta.

Kioskille ilmaantuu tulevaisuudessa myös haastajia. Tekniikan kehittyessä elintoimintoja mittaavia komponentteja on mahdollista saada pienempään tilaan. Tällainen on esimerkiksi suomalainen, oulussa suunniteltu Oura-hyvinvointisormus [3]. Tällainen teknologia on kuitenkin vielä verrattaen kallista, yksi Oura-sormus maksaa noin 330 euroa. Koska kioskin rakennuskustannukset ovat paljon alhaisemmat

ja sen käyttö ei maksa käyttäjille mitään niin tällä hetkellä kioskeille olisi erittäin hyvät markkinanäkymät.

8 Lähdekoodi

8.1 Arduinon skripti

```

1 /*
2  * This script starts mittaus.py python script on the linux side. Since
   mittaus.py requires the address
3  * node server it must be set in nodeServerAddress.
4  This script measures weight as a tuple using HX711.h library and then
   sends it to linino using
5  bridge
6  This script also includes printing board's wifi info for convenience
7 */
8
9 // Arduino weight
10 #include "HX711.h"
11 //Bridge Library
12 #include <Bridge.h>
13 #include <stdio.h>
14
15 //for wifi
16 #include <Process.h>
17
18 // HX711.DOUT - pin #D7
19 // HX711.PD_SCK - pin #D8
20
21 HX711 scale(7, 8); // Alustetaan HX711.h kirjastoa varten vaaka:
   DOUT = digital 7 & SCK = digital 8
22
23 //char array is for sending over bridge and long is for measuring
24 union weightUnion{
25     char weightCharArray[10];
26     long weightLong;
27 };
28
29 weightUnion weightunion;
30 boolean isWifiCheck = true; // change to FALSE to skip wifi
31 boolean runLinuxScript = true; //change to FALSE if you dont want the
   python script to run
32 Process linuxScript;
33
34 void setup() {
35
36     Serial.begin(9600);
37     while (!Serial);
38     Serial.println("Starting bridge...\n");
39     pinMode(13, OUTPUT);
40     digitalWrite(13, LOW);
41     Bridge.begin(); // make contact with the linux processor
42     digitalWrite(13, HIGH); // Led on pin 13 turns on when the bridge is
   ready
43
44

```



```

46     delay(2000); // wait 2 seconds
47
48     memset(weightunion.weightCharArray, 0, 10); //zero memory for bridge
49 // long readvalue = scale.read_average(10);
50 // Serial.print("offset weight: ");
51 // Serial.println(readvalue, DEC);
52
53 //scale.tare(10);
54 scale.set_offset(8941754); //platform dry weight, NO CHAIR
55 scale.set_scale(14840); //multiplier to kg
56 Serial.println("Scale set up");
57 }
58
59 void loop() {
60     if(isWifiCheck){
61         Process wifiCheck;
62         wifiCheck.runShellCommand("/usr/bin/pretty-wifi-info.lua"); //
        command you want to run
63
64         // while there's any characters coming back from the
65         // process, print them to the serial monitor:
66         while (wifiCheck.available() > 0) {
67             char c = wifiCheck.read();
68             Serial.print(c);
69         }
70
71         Serial.println();
72         isWifiCheck = false;
73     }
74     if(runLinuxScript) {
75         //next command starts the python script server ip address must be
        given
76         linuxScript.runShellCommandAsynchronously("python /root/pyscripts/
        mittaus_v5.py -s 10.100.7.124"); //start python script
77         while (linuxScript.running()) { //while the script is running send
        weight data to the script
78             weightunion.weightLong = scale.get_units(1);
79             if (weightunion.weightLong < 0) { //in case rounding causes it
        to go negative
80                 weightunion.weightLong = 0;
81             }
82             Serial.println(weightunion.weightLong, DEC);
83             Bridge.put("userWeight", weightunion.weightCharArray); //
        weight char array to send over to linino
84             delay(500);
85         }
86         runLinuxScript = false;
87     }
88 }
89 }
90 }

```

Listing 1: sendWeightToLinino.ino

8.2 Python skripti

```

#!/usr/bin/python
2
#This script needs to be ran from Arduino Yun,
4 #It handles the data from the scale and PM6750 module and sends it to
  the server
#This script doesnt check packages received from PM6750 for errors yet
6
import serial
8 import sys
import time
10 import socket
import simplejson as json #simplejson module used since it's more
    efficient than json, but seems to work identically otherwise
12 import sys, getopt #passing arguments
#add bridgelibrary to path and import, used at communicating with
    linino
14 sys.path.insert(0, '/usr/lib/python2.7/bridge')
from bridgeclient import BridgeClient as bridgeclient
16
def main(argv):
18     SERVER_IP = '' #this must be given as an argument
    SERVER_PORT = 6000
20     try:
        opts, args = getopt.getopt(argv, "hs:", ["server="])
22     except getopt.GetoptError:
        print ("mittaus.py -s|--server <serveraddress>")
24         sys.exit(2)
    for opt, arg in opts:
26         if opt == '-h':
            print ("mittaus.py -s|--server <serveraddress>")
28             sys.exit()
        elif opt in ("-s", "--server"):
30             SERVER_IP = arg

32 #connect to server
    try:
34         sock = socket.socket(socket.AF_INET, socket.SOCK_STREAM) #
        create socket object using socket library
        sock.connect((SERVER_IP, SERVER_PORT))
36         sock.setblocking(0)
        print("successfully connected to %s" %(SERVER_IP))
38     except socket.error as err:
        print("socket creation failed with error: %s" %(err))
40         sys.exit(2)

42 #Scale configuration
    value = bridgeclient()
44
    # configure PM6750 serial connection
46     serPort = serial.Serial(
        port='/dev/ttyUSB0', #port location in yun's file system
48         baudrate=115200, #according to pm6750 specs

```

```

50         parity=serial.PARITY_NONE,
           stopbits=serial.STOPBITS_ONE,
           bytesize=serial.EIGHTBITS,
52     # timeout=0.1,
           )
54     #Command parameters -> PM6750

56     commandDisSpo2 = b"\x55\xaa\x04\x03\x00\xf8" #disable spo2
    commandEnSpo2 = b"\x55\xaa\x04\x03\x01\xf7" #enable spo2
58     #commandSetNIBPAdult = b"\x55\xaa\x04\x09\x01\xf1" #set NIBP to
    adult pressure mode
    commandEcgOn = b"\x55\xaa\x04\x01\x01\xf9" #enable ECG output
60     commandEcgOff = b"\x55\xaa\x04\x01\x00\xfa" #disable ECG
    commandStartNIBP = b"\x55\xaa\x04\x02\x01\xf8" #prepare 'start NIBP
    ' command
62     commandStopNIBP = b"\x55\xaa\x04\x02\x00\xf9" #stop NIBP
    commandEcgWaveOn = b"\x55\xaa\x04\xfb\x01\xff" #ecg wave on
64     commanSpo2WaveOn = b"\x55\xaa\x04\xfe\x01\xfc" #spo2 wave on

66

    commandEcgLead5 = b"\x55\xaa\x04\x05\x01\xf5" # prepare following
    command ' set ECG to sample lead I (RA-LA, driving by LL) '
68     commandEcgLeadI = b"\x55\xaa\x04\x05\x02\xf4" # prepare following
    command ' set ECG to sample lead II (RA-LL, driving by LA) '
    commandEcgLeadII = b"\x55\xaa\x04\x05\x03\xf3" # prepare following
    command ' set ECG to sample lead III (LA-LL, driving by RA) '
70     commandEcgLeadIII = b"\x55\xaa\x04\x05\x04\xf2" # default mode,
    lead 5

72     commandSoftVerNumber = b"\x55\xaa\x04\xfc\x00\xff" #Software version
    inquiry
    commandHardVerNumber = b"\x55\xaa\x04\xfd\x00\xfe" #Hardware version
    inquiry

74

76     #These commands set ecg gain
    commandEcgWaveGainx025 = b"\x55\xaa\x04\x07\x01\xf3"
78     commandEcgWaveGainx05 = b"\x55\xaa\x04\x07\x02\xf2"
    commandEcgWaveGainx1 = b"\x55\xaa\x04\x07\x03\xf1"
80     commandEcgWaveGainx2 = b"\x55\xaa\x04\x07\x04\xf0"

82     #These commands set ecg filter mode
    commandEcgFilterModeOper = b"\x55\xaa\x04\x08\x01\xf2"
84     commandEcgFilterModeMonitor = b"\x55\xaa\x04\x08\x02\xf1"
    commandEcgFilterModeDiagnose = b"\x55\xaa\x04\x08\x03\xf0"

86

    hexTail = [] #for initialisation
88     MEASUREMENT_ON = False
    WEIGHT_MEASURED = False

90

    #This function appends rest of the parameters to data that is then
    sent to the server
92     def createJSONfromPackage(dataLength, parsedPackFromBerry):
        param = ","

```

```

94         for j in range(dataLength-1):
95             param += ' "a%d": %d,' %(j+2, int(parsedPackFromBerry[j
+2],0))
96         # print(param)
97         param = param[:-1]      #this removes the last comma
98         param += ' }'          #adds the ending parenthesis
99         # print "final param: %s" %(param)
100        return param

102    #gets weight from arduino, if empty string -> no load
103    def measure_Weight():
104        wChar = value.get("userWeight")
105        if not wChar:
106            weight = 0
107        else:
108            weight = ord(wChar)
109        dataw = '{ "tp": "Weight", "a2": %d}' %(weight)
110        sock.setblocking(1)
111        sock.settimeout(0.1)
112        #send weight to server
113        try:
114            sock.send(dataw)
115        except Exception:
116            print("socket timeout")

118    # open serial connection and flushes i/o buffer
119    try:
120        serPort.open()
121        serPort.flushInput()
122        serPort.flushOutput()
123        print "serial port configured"
124    except Exception, e:
125        print "error open serial port: " + str(e)
126        exit()

128

130    time.sleep(0.5)

132    #####Main program starts here#####

134    while True:
135        if (MEASUREMENT_ON):
136            if not WEIGHT_MEASURED:          #only measures weight once
137                measure_Weight()
138                WEIGHT_MEASURED = True
139                bytesInWaiting = serPort.inWaiting()    #check size of
incoming serial buffer
140            # print bytesInWaiting
141            if (bytesInWaiting > 200):        #for performance reasons we
dont want too big or too small data chunks, 200 seems to work ok
142                chunk=serPort.read(size=200)    #read a 200 byte
chunk from serial buffer for further processing. Packages might be
severed, thereby forming 'tails' which need to be rejoined later

```

```

hexArray = [hex (ord (char) ) for char in chunk] #
convert every character in chunk to unicode value, then to hex
value, and save to hexArray
144     hexArray = hexTail + hexArray    #append the tail end of
previous hex array to a new one so it's not lost
146     hexTail = []                    #clean up the storage variable
#     print("hexarray: %s" %(hexArray))
sock.setblocking(1) #to prevent errno crash (tcp server
busy), remember to set sock.setblocking(0) before trying to read
socket

148     sock.settimeout(0.1)
for i in range(0, len(hexArray)-1):
150         if ((hexArray[i] == "0x55") & (hexArray[i+1] == "0
xaa")): #only do stuff if package header 0x55 0xAA is detected, if
not, then loop i until it's found
            #print("hexarray: %s" %(hexArray))
152             if i+1 >= len(hexArray) - 1 or i + 2 + int(
hexArray[i+2],0) >= len(hexArray)-1: #if headers + packlength
are the last variables in the array or remainin hexarray doesnt
contain enough data as datalength byte indicates
                hexTail = hexArray[i:len(hexArray)] #
save a the rest of the package to a temp storage variable
154                 break # processing of current
hex array has finished , proceed with data collection

156     #Commands below will read the bit following package headers, that
is, the 3rd bit. These packages are coming from PM6750
#Example package (nibp):
158     #headers      n   type  A2   A3   A4   A5   A6   checksum
#0x55 0xAA 0x08 0x03 0x00 0x00 0x00 0x00 0x00 0xF4
160     # 0      1   2     3     4     5     6     7     8     9

162     #Data package to be sent to the socket is constructed as follows
#data = '{ "tp":"packagetype", "vln": %d ...}', where tp indicates
type and vln indicates parameters

164     #i+2: skip headers, int(hexArray[i+2],0): pack length excludes the
last index
166     parsedPackFromBerry = hexArray[i+2:i+2 + int(
hexArray[i+2],0)-1]

168     #Add rest of the package array to hexTail
hexTail = hexArray[i+2 + int(hexArray[i+2],0)
:-1]

170     #that we are not trying to index empty array
172     if not parsedPackFromBerry:
break
174     #parsedPackFromBerry[i], i=0: length, i=1:
datatype, i=2..n-2: data, i=n-1: checksum
# if packlength is < 3 discard and start again,
invalid length

176     if (int(parsedPackFromBerry[0],0) < 3):
break

```

```

178         data = "" #init data
        # print "parsed pack: %s" %(parsedPackFromBerry)
180         if (parsedPackFromBerry[1] == "0x1"): #
ECG wave
            dataLength = int(parsedPackFromBerry[0],0)
- 2
182            data = '{ "tp": "ECGWave" '
            param = createJSONfromPackage(dataLength,
parsedPackFromBerry)
184            data = data + param
            # print 'parsed ecg wave {}'.format(data)
186            if (parsedPackFromBerry[1] == '0x2'): #ECG
param
            dataLength = int(parsedPackFromBerry[0],0)
- 2
188            data = '{ "tp": "ECGPara" '
            param = createJSONfromPackage(dataLength,
parsedPackFromBerry)
190            data = data + param
            # print 'parsed hex string {}'.format(data)
192            elif (parsedPackFromBerry[1] == "0x3"): #
NIBP params: A3=cuff pressure A4=systolic A5=mean A6=dia
194            dataLength = int(parsedPackFromBerry[0],0)
- 2
196            data = '{ "tp": "NiBp" '
            param = createJSONfromPackage(dataLength,
parsedPackFromBerry)
            data = data + param
198            elif (parsedPackFromBerry[1] == "0x4"): #
SpO2 param
200            dataLength = int(parsedPackFromBerry[0],0)
- 2 #True package length
            #print("data length: %d" %(dataLength))
202            data = '{ "tp": "SpO2" '
            param = createJSONfromPackage(dataLength,
parsedPackFromBerry)
204            data = data + param
206            elif (parsedPackFromBerry[1] == "0xfe"):
            dataLength = int(parsedPackFromBerry[0],0)
- 2
208            data = '{ "tp": "SpO2Wave" '
            param = createJSONfromPackage(dataLength,
parsedPackFromBerry)
210            data = data + param
212            elif (parsedPackFromBerry[1] == "0xfc"): #
Soft Version A2-A8 ascii bytes represent version
214            dataLength = int(parsedPackFromBerry[0],0)
- 2 #True package length

```

```

216         data = '{ "tp":"SoftVer" }' #construct
the message
        param = createJSONfromPackage(dataLength,
parsedPackFromBerry)
        data = data + param

218
220         # print("Data package to sent: %s" %(data))
        try:
222             if data: #only send when data contains
something
                sock.send(data)
224             else:
                continue
226             except Exception:
                print("socket timeout")
228                 break #stop trying to send data to
timed out socket

230                 else: #if ((hexArray[i] == '0x55') & (
hexArray[i+1] == '0xaa')):
                    continue
232
234     #!!!!!!!!!!!!!!!!!!!!!!!!!!!!!!!!!!!!!!!!!!!!!! 'WHILE
MEASUREMENT_ON' loop stops here !!!!!!!!!!!!!!!!!!!!!!!

236
238     try: #this runs regardless of MEASUREMENT_ON
        jsonObject = ""
        sock.setblocking(0) #to allow non blocking socket receive
240         a = sock.recv(1) #try reading socket buffer. this will fail
        if no data in socket buffer, in that case moves to Exception
        while (a != '\n'): #copies incoming data to a string until
termination \n is detected
242             jsonObject += a
            a = sock.recv(1)
244             jsonMessage = json.loads(jsonObject) #makes json object
from string
            # print 'Read jsonMessage from socket {}'.format(jsonMessage)
246             #these read what's in the json
            if jsonMessage['type'] == "startMeasure":
248                 serPort.flushInput()
                MEASUREMENT_ON = True #enables reading and handling of
pm6750 data
250                 WEIGHT_MEASURED = False
                print "Start measuring"
252                 serPort.write(commandEnSpo2)
                serPort.write(commandEcgOn)
254                 serPort.write(commandEcgWaveOn)
                serPort.write(commandEcgLeadII) #enable leadII as
default
256                 if jsonMessage['type'] == "nibpON":
                    if (MEASUREMENT_ON):

```

```

258         print "Measuring NIBP"
                serPort.write(commandStartNIBP) # this sends blood
pressure start command signal to pm6750
260         if jsonMessage['type'] == "stopMeasure":
            MEASUREMENT_ON = False #disables reading and handling
of pm6750 data
262         print "Stopped all measurings"
            if jsonMessage['type'] == "ecg_gainx025":
264                 serPort.write(commandEcgWaveGainx025)
            if jsonMessage['type'] == "ecg_gainx05":
266                 serPort.write(commandEcgWaveGainx05)
            if jsonMessage['type'] == "ecg_gainx1":
268                 serPort.write(commandEcgWaveGainx1)
            if jsonMessage['type'] == "ecg_gainx2":
270                 serPort.write(commandEcgWaveGainx2)
            if jsonMessage['type'] == "ecg_filterOper":
272                 serPort.write(commandEcgFilterModeOper)
            if jsonMessage['type'] == "ecg_filterMonitor":
274                 serPort.write(commandEcgFilterModeMonitor)
            if jsonMessage['type'] == "ecg_filtDiagnose":
276                 serPort.write(commandEcgFilterModeDiagnose)
            if jsonMessage['type'] == "ecg_setLeadI":
278                 serPort.write(commandEcgLeadI)
            if jsonMessage['type'] == "ecg_setLeadII":
280                 serPort.write(commandEcgLeadII)
            if jsonMessage['type'] == "ecg_setLeadIII":
282                 serPort.write(commandEcgLeadIII)
            if jsonMessage['type'] == "ecg_setLead5":
284                 serPort.write(commandEcgLead5)
286
288         except Exception: # if no incoming socket data available
            pass
            serPort.flushOutput() #flushes serial outgoing buffer just in
case
290
292 if __name__=="__main__":
    main(sys.argv[1:])

```

Listing 2: mittaus.py

8.3 Serverin koodi

```

var express = require('express'); //include express module
2 var app = express(); //invoking express as function returns an
express server instance
var http = require('http').Server(app) //enables use of webSockets
with express
4 var io = require('socket.io').listen(http); //listens to websocket
connections
var net = require('net'); //TCP-sockets
6 var fs = require('fs'); //file read/write

```



```

8 var chairClients = [];
var webClients = [];
10 var mittaus = 0;

12 //serves the HTML-part of the web app when user sends GET request
app.get('/', function(req, res){
14   res.sendFile(__dirname+'/index.html');
});

16 /*
18 app.get('/mittaus', function(req, res){
  currentID = req.param('id');
20   res.sendFile(__dirname+'/index.html');
});*/

22 //get requests for different chairs!
24 //main page showing all chairs

26 app.get('/jquery-2.1.3.js', function(req, res){ //serves jquery when
  requested
  res.sendFile(__dirname+'/jquery-2.1.3.js');
28 });
/*
30 app.get('/socket.io/socket.io.js', function(req, res){
  res.sendFile(__dirname+'/socket.io/socket.io.js');
32 });*/

34 //var buffer;

36 // TCP-palvelin joka odottaa yhteyksia tuoleilta// TCP-server
38 // Jokaisella uudella yhteydenotolla luodaan uusia soketteja// New
  socket created at every connection
const server = net.createServer(function(socket){
40

42   console.log("Chair is connected");
  var id = 0;
44   while (chairClients[id] != null)
    id++;
46   chairClients[id] = socket;

48

  var heartBeat = setInterval(function (){ // pings client regularly
    to determine if connection is alive
50     var messageToChair = {type: 'ping' };

52

    if (chairClients[id]) {
54       chairClients[id].write( JSON.stringify(messageToChair) + '\n');
    }
56   }, 5000);

```

```

58 var buffer = ''; //string buffer for incoming data, if problems
    arise, remove "var" and uncomment global "var buffer"

60

62 socket.on('data', function(data) {

64     buffer += data.toString();
    var newJson;
    var jsonsProcessed = 0;

68     while ((i = buffer.indexOf('}')) >= 0) {
70         if (i==0) {
            buffer = buffer.slice(1);
            continue;
        }
74         newJson = buffer.substring(0,i+1);
        // console.log(newJson);
76         buffer = buffer.substring(i+1);
        jsonsProcessed +=1;
78         var newJsonText = JSON.parse(newJson);
        // console.log(newJsonText);
80         if (webClients[id]) {
            webClients[id].emit('dataEvent', newJsonText);
82         }
        /*
84         if (mittaus) {
            fs.appendFile('mittauslog.txt', newJson, function (err) {
86                 if(err) throw err;
            });
88         }*/
    }

90    // socketti_web.emit('livedata', { livedata: data });
92    // console.log(JSON.parse(data));

94    });

96

98 socket.on('end', function() {
    // tuoli_sockets.pop();

100    chairClients[id] = null;

102    console.log("Connection with the chair id: "+id+" ,has ended");
    });

104

106 socket.on("error", function() {

108     if (webClients[id]) {
        webClients[id].emit('socket_error');
    }
110    chairClients[id] = null;

```

```

    socket.destroy();
112     console.log("TCP error, connection with the chair id: "+id+" has
        been terminated");
    });
114
116 });
    server.listen(6000); //port number for TCP-connections from chair
118
120 io.sockets.on('connection', function(soketti_web){ //websocket (from
    web app) handling happens here
    mittaus = 0;
122     var simulator; //object to be used by interval function

124     console.log("Connection from Web-application");

126     soketti_web.on('check_chairs', function () { //happens once when
        session starts, determines available chairs
        console.log("checking chairs");
128         var listOfIDs = [];
        for (i=0; i<100; i++) { // checks first 100 entries in chair and
            user list
130             if ( (chairClients[i] != null) && (webClients[i] == null) )
                listOfIDs.push(i);
132         }
        if (listOfIDs.length > 0) {
134             soketti_web.emit('show_chairs', listOfIDs);
        }
136         else {
            soketti_web.emit('no_chairs');
138         }

140     });

142     soketti_web.on('start', function (id){ //when user clicks "start
        measure" on web app
        webClients[id]=soketti_web;
144         var messageToChair = {type: 'startMeasure' };

146         if (chairClients[id]) {
            chairClients[id].write( JSON.stringify(messageToChair) + '\n');
148             console.log('Start measuring on id: ' +id+ " with message: " +
                messageToChair['type']);
        }

150         if(id == -1) { // -1 means user requests simulation
152             console.log('Simuloi');
            var j = 0;

154             simulator = setInterval(function () { // simulates continuous
                measurements
156                 var messageToChair = {tp: 'ECGWave', a2: Math.floor(Math.random
                    () * 255),

```

```

158         a3: Math.floor(Math.random() * 255),
160         a4: Math.floor(Math.random() * 255),
162         a5: Math.floor(Math.random() * 255),
160         a6: Math.floor(Math.random() * 255),
162         a7: Math.floor(Math.random() * 255),
162         a8: Math.floor(Math.random() * 255)}; //to get random
integer [0,255] for a2..8 leads
// console.log(messageToChair);
164     soketti_web.emit('dataEvent', messageToChair);
166     soketti_web.emit('dataEvent', {tp: 'Weight', a2: 95});
166     var messageToChair2 = {tp: 'SpO2Wave', a2: Math.floor(Math.
random() * 100)}; //to get random integer [0,100]
166     soketti_web.emit('dataEvent', messageToChair2);
168     if (j==250) {
168         messageToChair = {tp: 'SpO2', a3: (97+Math.floor(Math.random
() * 2)), a4: (70+Math.floor(Math.random() * 10)), a2: 0};
170         soketti_web.emit('dataEvent', messageToChair);
170         // var ecparam = {tp: 'ECGPara', a2: Math.floor(Math.random()
* 255)};
172         // soketti_web.emit('dataEvent', ecparam);

174         j = 0;
176     }
176     j++;
178     }, 100);
178 }

180
182 });

182 soketti_web.on('stop', function (id){ //when user clicks "stop" in
web app
184     console.log('Lopeta mittaus');
184     var messageToChair = {type: 'stopMeasure' };
186
186     if (chairClients[id]) {
188         chairClients[id].write( JSON.stringify(messageToChair) + '\n');
188     }
190
190     if (id) {
192         webClients[id] = null;
192     }
194     if (id == -1) { // -1 means simulation is asked to stop
194         clearInterval(simulator);
196     }

198 //     fs.writeFile('mittauslog.txt', '', function (err) {
198 //         if (err) throw err;
200 //     });
200 // });
202
202 soketti_web.on('nibp', function (id){ //when user clicks "measure
blood pressure" on web app
204     console.log('nibp request from ' +id);

```

```

206     var messageToChair = {type: 'nibpON' }

208     if (chairClients[id]) {
210         chairClients[id].write( JSON.stringify(messageToChair) + '\n');
212     }

214     if (id == -1) { // -1 means simulated NIBP is requested
216         messageToClient = {tp: 'NiBp', a4: 0, a6: 0, a2: 4};
218         soketti_web.emit('dataEvent', messageToClient);

220         setTimeout(function() {
222             messageToClient = {tp: 'NiBp', a2: 0, a4: 100+Math.floor(Math.
random() * 50), a6: 60+Math.floor(Math.random() * 40)};
            soketti_web.emit('dataEvent', messageToClient);
        }, 5000);
    }
});

224 /* soketti_web.on('nibpStop', function (id){ //when user clicks "
measure blood pressure" on web app
    console.log('stop ');
226     var messageToChair = {type: 'nibpStop' }

228

230     if (chairClients[id]) {
232         chairClients[id].write( JSON.stringify(messageToChair) + '\n');
234     }

236     if (id == -1) { // -1 means simulated NIBP is requested
238         messageToClient = {tp: 'NiBp', a4: (0), a6: (0), a2: 8};
240         soketti_web.emit('dataEvent', messageToClient);

242     }

244 }); */
soketti_web.on('lead_select', function(lead, id) {
    console.log("set lead: "+ lead + " chair: " +id);
244     var messageToChair = {type: lead}
246     if(chairClients[id]) {
248         chairClients[id].write( JSON.stringify(messageToChair) +'\n');
250     }
    if(id == -1) {
        if (lead == "ecg_setLeadI") {
            messageToClient = {tp: 'ECGPara', a2: 64}; //send only bit
            string 0100 0000
        } else if (lead == "ecg_setLeadII") {
252             messageToClient = {tp: 'ECGPara', a2: 128}; // 1000 0000
        } else if (lead == "ecg_setLeadIII") {
254             messageToClient = {tp: 'ECGPara', a2: 192}; // 1100 0000
        } else if (lead == "ecg_setLead5") {

```

```

256     messageToClient = {tp: 'ECGPara', a2: 0};
257     }
258     soketti_web.emit('dataEvent', messageToClient);
259 }
260 });
261 soketti_web.on('gain_select', function(gain, id) {
262     console.log("set gain: " + gain + " chair: " + id);
263     var messageToChair = {type: gain}
264     if(chairClients[id]) {
265         chairClients[id].write( JSON.stringify(messageToChair) + '\n');
266     }
267     if(id == -1) {
268         if (gain == "ecg_gainx025") {
269             messageToClient = {tp: 'ECGPara', a2: 0}; //send only bit
270             string 0000 0000
271         } else if (gain == "ecg_gainx05") {
272             messageToClient = {tp: 'ECGPara', a2: 4}; // 1000 0000
273         } else if (gain == "ecg_gainx1") {
274             messageToClient = {tp: 'ECGPara', a2: 8}; // 1100 0000
275         } else if (gain == "ecg_gainx2") {
276             messageToClient = {tp: 'ECGPara', a2: 12};
277         }
278         soketti_web.emit('dataEvent', messageToClient);
279     }
280 });
281 soketti_web.on('filtermode_select', function(fmode, id) {
282     console.log("set filtermode: " + fmode + " chair: " + id);
283     var messageToChair = {type: fmode}
284     if(chairClients[id]) {
285         chairClients[id].write( JSON.stringify(messageToChair) + '\n');
286     }
287     if(id == -1) {
288         if (fmode == "ecg_filterOper") {
289             messageToClient = {tp: 'ECGPara', a2: 0}; //send only bit
290             string 0100 0000
291         } else if (fmode == "ecg_filterMonitor") {
292             messageToClient = {tp: 'ECGPara', a2: 16}; // 1000 0000
293         } else if (fmode == "ecg_filtDiagnose") {
294             messageToClient = {tp: 'ECGPara', a2: 32}; // 1100 0000
295         }
296         soketti_web.emit('dataEvent', messageToClient);
297     }
298 });
299 soketti_web.on('disconnect', function() { //when user closes the
300     web page
301     console.log('User disconnection');
302     var i = webClients.indexOf(soketti_web);
303     if (i >= 0) {
304         var messageToChair = {type: 'stopMeasure'};
305         if(chairClients[i]) {
306             chairClients[i].write( JSON.stringify(messageToChair) + '\n');
307         }
308         webClients[i] = null;
309     }
310 }

```

```

    clearInterval(simulator); //this kills the simulator
308 });
310 /*
    soketti_web.on('tallenna', function() {
312     date = new Date();
    var now = date.getTime();
314     var dateString = now.toString();

    fs.rename('mittauslog.txt', dateString+'.txt', function(err) {
316         if(err) throw err;
318     });
    }); */
320
322 });
324
326 /*
    http.listen(8080, function(){
    console.log('listening on *:8080');
328 });
    */
330 http.listen(8081, "0.0.0.0"); //listens to http requests at this port,
    0.0.0.0 means everyone is served

```

Listing 3: server.js

8.4 Käyttöliittymän koodi

```

<!doctype html>
2 <html>

4 <style>

6 .hidden{
    display:none;
8     }
    .unhidden{
10     display:block;
    }
12 </style>

14 <head>
    <meta http-equiv="Content-Type" content="text/html; charset=utf-8">
16 <meta name="viewport" content="width=device-width,initial-scale=1,
        maximum-scale=1,user-scalable=no"/>
    <meta name="apple-mobile-web-app-capable" content="yes">
18 <meta name="apple-mobile-web-app-status-bar-style" content="black">

20 <title>Aalto Health Kiosk User Interface</title>

```

```

22 <link rel="stylesheet" href="http://www.w3schools.com/lib/w3.css">
24 <script> src="https://cdnjs.cloudflare.com/ajax/libs/jquery-mobile
    /1.4.5/jquery.mobile.min.js"</script>
    <script src="socket.io/socket.io.js"></script>
26 <script src="jquery-2.1.3.js"></script>
    <script data-require="flot@*" data-semver="0.0.7" src="//cdnjs.
        cloudflare.com/ajax/libs/flot/0.7/jquery.flot.min.js"></script>
28 <script data-require="flot@*" data-semver="0.0.7" src="//cdnjs.
        cloudflare.com/ajax/libs/flot/0.7/jquery.flot.threshold.min.js"></
        script>
    <script data-require="flot@*" data-semver="0.0.7" src="//cdnjs.
        cloudflare.com/ajax/libs/flot/0.7/jquery.flot.symbol.min.js"></
        script>
30 <script data-require="flot@*" data-semver="0.0.7" src="//cdnjs.
        cloudflare.com/ajax/libs/flot/0.7/jquery.flot.stack.min.js"></
        script>
    <script data-require="flot@*" data-semver="0.0.7" src="//cdnjs.
        cloudflare.com/ajax/libs/flot/0.7/jquery.flot.selection.min.js"></
        script>
32 <script data-require="flot@*" data-semver="0.0.7" src="//cdnjs.
        cloudflare.com/ajax/libs/flot/0.7/jquery.flot.resize.min.js"></
        script>
    <script data-require="flot@*" data-semver="0.0.7" src="//cdnjs.
        cloudflare.com/ajax/libs/flot/0.7/jquery.colorhelpers.min.js"></
        script>
34 <script data-require="flot@*" data-semver="0.0.7" src="//cdnjs.
        cloudflare.com/ajax/libs/flot/0.7/jquery.flot.image.min.js"></
        script>
    <script data-require="flot@*" data-semver="0.0.7" src="//cdnjs.
        cloudflare.com/ajax/libs/flot/0.7/jquery.flot.fillbetween.min.js"
        ></script>
36 <script data-require="flot@*" data-semver="0.0.7" src="//cdnjs.
        cloudflare.com/ajax/libs/flot/0.7/jquery.flot.crosshair.min.js"></
        script>
    <script data-require="flot@*" data-semver="0.0.7" src="//cdnjs.
        cloudflare.com/ajax/libs/flot/0.7/excanvas.min.js"></script>
38 <script data-require="flot@*" data-semver="0.0.7" src="//cdnjs.
        cloudflare.com/ajax/libs/flot/0.7/jquery.flot.navigate.min.js"></
        script>

40 </head>

42 <script>

44 var socket    = io.connect();
    var id;

46 $(document).ready(function(){

48     var socket    = io.connect();
50     var id;

52     socket.emit('check_chairs');

```



```

54 socket.on('show_chairs', function(listOfIDs) {
    console.log("available chairs");
56 var btnav;
    if (listOfIDs != null) {
58         for (var i=0; i<listOfIDs.length; i++) {
            if (listOfIDs[i] != null) {
60                 var buttons="";
                //buttons += '<h2>Available chairs:</h2> <input type="button"
                id = "button_" +listOfIDs[i]+' " class="selectChair" value="'+
listOfIDs[i]+' "></input>';
62                 btnav = $("<button></button>").text(listOfIDs[i]);
                btnav.prop('id', "button_" +listOfIDs[i]);
64                 btnav.prop('class', "selectChair");
                btnav.prop('value', listOfIDs[i]);
66                 console.log(btnav);
            }
68         }
        $('#chair_menu').append(btnav);
70         $('#chair_status').text("Available chairs");
        //document.getElementById("chair_menu").innerHTML = buttons;
72     }
    });

74 socket.on('no_chairs', function() {
76     console.log("no chairs found");
    $('#chair_status').text("No available chairs");
78 });

80 $('#chair_menu').on('click', '.selectChair', function() {
82     id = this.value;
    console.log(id);
84     document.getElementById("menu").className = 'hidden';
    document.getElementById("results").className = 'unhidden';
86     $('#userchair_id').text(id);
    });

88 $('#simulaattori').click(function() {
90     id = -1;
    console.log(id);
92     document.getElementById("menu").className = 'hidden';
    document.getElementById("results").className = 'unhidden';
94     $('#userchair_id').text(id+" (simulate)");
    });

96     $('#startMeasure').click(function() {
98     socket.emit('start', id);
    });
100 $('#stopMeasure').click(function() {
    socket.emit('stop', id);
102 });

104 $('#measureNIBP').click(function() {

```

```

    socket.emit('nibp', id);
106  });
    $('#saveData').click(function() {
108      socket.emit('tallenna', id);
    });
110  $('#backToChairs').click(function() {
    socket.emit('stop', id);
112      location.reload(true);
    });
114  $("input[name=lead_select]").change(function() {
    if ($("input[name=lead_select]").is(':checked'))
116      {
        $ans = $("input[name=lead_select]:checked").val();
118        $(':radio').prop('checked');
        socket.emit('lead_select', $ans, id);
120      }
    });
122  $("input[name=gain_select]").change(function() {
    if ($("input[name=gain_select]").is(':checked'))
124      {
        $ans = $("input[name=gain_select]:checked").val();
126        $(':radio').prop('checked');
        socket.emit('gain_select', $ans, id);
128      }
    });
130  $("input[name=filtermode_select]").change(function() {
    if ($("input[name=filtermode_select]").is(':checked'))
132      {
        $ans = $("input[name=filtermode_select]:checked").val();
134        $(':radio').prop('checked');
        socket.emit('filtermode_select', $ans, id);
136      }
    });
138
    $("input[name=userheight]").on("change keyup", function() {
140      var weight = parseInt($('output[name=weight_status]').val());
      var status = "";
142      //console.log("weight: " + weight);
      if(weight) {
144          var height = $('input[name=userheight]').val();
          // console.log("height: " + height);
146          if (height > 0){
              var bmi = weight/(height*height)*10000;
148              bmi = bmi.toFixed(1);
              // console.log(bmi);
150              if(bmi < 18.5) {
                  status = "Underweight";
152                  $('#weightstatus').css({"color": "#ff0000"});
              }else if(bmi < 25){
154                  status = "Normal weight";
                  $('#weightstatus').css({"color": "green"});
156
              }else if(bmi < 30){
158                  status = "Overweight";

```

```

    $('#weightstatus').css("color", "#ff7f7f");
160 } else {
    status = "Obesity";
162 $('#weightstatus').css({"color": "#ff0000"});
    }
164 $('#output[name=bmi]').val(bmi);
    $('#weightstatus').text(status)
166 }
    }
168 });

170 $('#placeholder_ecg').bind("plothover", function (event, pos, item) {
    if (item) {
172         $('#placeholder_ecglabel').text(item.series.label);
    } else {
174         $('#placeholder_ecglabel').text("");
    }
176
    });

178
    var i,
180 now = new Date();
    var ecg1_data = [];
182 var ecg2_data = [];
    var ecg3_data = [];
184 var ecg4_data = [];
    var ecg5_data = [];
186 var ecg6_data = [];
    var ecg7_data = [];
188
    var data_spo2 = [];
190 totalPoints = 1000;

192 // dataset to print ecg wave
    dataset = function () {
194         return [
            {
196                 label: "ECG Lead I",
                data: ecg1_data
198             },
            {
200                 label: "ECG Lead II",
                data: ecg2_data
202             },
            {
204                 label: "ECG Lead III",
                data: ecg3_data
206             },
            {
208                 label: "ECG Lead aVR",
                data: ecg4_data
210             },
            {
212                 label: "ECG Lead aVL",

```

```

214     data: ecg5_data,
    },
    {
216     label: "ECG Lead aVF",
    data: ecg6_data
218   },
    {
220     label: "ECG Lead V",
    data: ecg7_data
222   }
  ];
224 }

226

228 //populates empty graph
    for (i=0; i<totalPoints;i++){
230     now.setMilliseconds(now.getMilliseconds() + 1)
    ecg1_data.push([now.getTime(), 0]);
232     ecg2_data.push([now.getTime(), 0]);
    ecg3_data.push([now.getTime(), 0]);
234     ecg4_data.push([now.getTime(), 0]);
    ecg5_data.push([now.getTime(), 0]);
236     ecg6_data.push([now.getTime(), 0]);
    ecg7_data.push([now.getTime(), 0]);
238     data_spo2.push([now.getTime(), 0]);
    }

240
var plot_ecg = $.plot("#placeholder_ecg", dataset(), {
242   series: {
    shadowSize: 0
244   },
  yaxis: {
246     min: 0,
    max: 1750
248   },
  xaxis: {
250     //set x-axis as time
    mode: "time",
252     timeformat: "%h:%M:%S"
    },
254     legend: {
    show: false
256     //
    position: "nw"
    // noColumns: 1
258     },
    grid: {
260     hoverable: true
    }
  });
262

264 var plot_spwave = $.plot("#placeholder_sp02wave", [data_spo2], {
  series: {
266     shadowSize: 0,

```

```

268     // label: "SpO2 Wave Graph"
    },
    yaxis: {
270         min: 0,
        max: 100
272     },
    xaxis: {
274         //set x-axis as time
        mode: "time",
276         timeformat: "%h:%M%S"
    },
278 /* legend: {
    container: $("#legend_sp02wave")
280 } */
    });
282
284 function update() {
    plot_ecg.setData(dataset());
286     plot_ecg.setupGrid();
    plot_ecg.draw();
288
    plot_spwave.setData([data_spo2]);
290     plot_spwave.setupGrid();
    plot_spwave.draw();
292
    setTimeout(update, 1000);
294 }
296
    /*Global variables */
    var ecg_leadmode = "Lead V";
298     var ecg_signal = "normal";
    var lead_status = "normal";
300     var ecg_gain = 0.25;
    var ecg_filtermode = "Operation mode";
302
    socket.on('dataEvent', function (mittausData) {
304
306         // console.log(mittausData);
        // var json = JSON.parse(mittausData);
308         var json = mittausData;
        // console.log(json.a2);
310         if (json.tp == 'SpO2') {
            if (json.a2 != '0') {
312                 $('output[name=spo2status]').val("Searching for signal..");
            }
            else
314                 $('output[name=spo2status]').val("Measuring..");
            $('output[name=oxygen_status]').val(json.a3);
316             $('output[name=hr_status]').val(json.a4);
318         }
320         if (json.tp == 'NiBp') {

```

```

322     if ((json.a2 == 0) && (json.a4 != 0)) {
323         $('output[name=nibpstatus]').val("Measured");
324         $('output[name=sys_status]').val(json.a4);
325         $('output[name=dia_status]').val(json.a6);
326     }
327     else if (json.a2 && 4 == 4) {
328         $('output[name=nibpstatus]').val("Measuring..");
329     }
330     else if (json.a2 && 16 == 16) {
331         $('output[name=nibpstatus]').val("Please check cuff's
attachment");
332     }
333     else if (json.a2 && 8 == 8) {
334         $('output[name=nibpstatus]').val("Measurement stopped");
335     }
336 }

338 if (json.tp == 'ECGWave') {
339
340     //input new data in ecg graph
341     // data_ecg.shift();
342
343     // data_ecg.push([now.getTime(), json.a2])
344     ecg1_data.shift();
345     ecg2_data.shift();
346     ecg3_data.shift();
347     ecg4_data.shift();
348     ecg5_data.shift();
349     ecg6_data.shift();
350     ecg7_data.shift();
351     now.setMilliseconds(now.getMilliseconds()+4)
352     ecg1_data.push([now.getTime(), json.a2]);
353     ecg2_data.push([now.getTime(), json.a3+250]);
354     ecg3_data.push([now.getTime(), json.a4+500]);
355     ecg4_data.push([now.getTime(), json.a5+750]);
356     ecg5_data.push([now.getTime(), json.a6+1000]);
357     ecg6_data.push([now.getTime(), json.a7+1250]);
358     ecg7_data.push([now.getTime(), json.a8+1500]);
359
360
361 }
362 if (json.tp == 'SpO2Wave') {
363     //input new data in ecg graph
364     //document.getElementById(json.tp).innerHTML = 'Measuring SpO2
Wave...';
365     data_spo2.shift();
366     now.setMilliseconds(now.getMilliseconds()+4);
367     data_spo2.push([now.getTime(), json.a2]);
368     // document.getElementById(json.tp).innerHTML = data_spo2;
369 }
370 if (json.tp == 'Weight') {
371     $('output[name=weight_status]').val(json.a2);

```

```

    }
374     if (json.tp == 'ECGPara') {
        var base2 = json.a2.toString(2);
376         var paddedBase2 = pad(base2, 8);
        /*
378         var ecg_leadmode = "Lead V";
        var ecg_signal = "normal";
        var lead_status = "normal";
380         var ecg_gain = 0.25;
        var ecg_filtermode = "Operation mode";
382     */
        console.log(paddedBase2)

384
        if (paddedBase2[7] == 1){ //index is reversed
386             ecg_signal = "weak";
        } else if (paddedBase2[0] == 0){
388             ecg_signal = "normal";
        }
390         if (paddedBase2[6] == 1){
            lead_status = "lead off";
392         } else if (paddedBase2[1] == 0){
            lead_status = "normal";
394         }

396         if (paddedBase2[4] == 0 && paddedBase2[5] == 0){ // bits[3][2]:
            11 => gain 2
            ecg_gain = 0.25;
398         } else if (paddedBase2[4] == 1 && paddedBase2[5] == 1){ // bits
            [3][2]: 11 => gain 2
            ecg_gain = 2;
400         } else if (paddedBase2[4] == 0 && paddedBase2[5] == 1){ //
            bits: 01 => gain 1
            ecg_gain = 0.5;
402         } else if (paddedBase2[4] == 1 && paddedBase2[5] == 0){ //
            bits: 10 => gain 1
            ecg_gain = 1;
404         }

406         if (paddedBase2[2] == 0 && paddedBase2[3] == 0){ // bits[5][4]
            ecg_filtermode = "Operation mode";
408         } else if (paddedBase2[2] == 0 && paddedBase2[3] == 1){
            ecg_filtermode = "Monitor mode";
410         } else if (paddedBase2[2] == 1 && paddedBase2[3] == 0){
            ecg_filtermode = "Diagnose mode";
412         }

414         if (paddedBase2[0] == 0 && paddedBase2[1] == 0){ // bits[7][6]
            ecg_leadmode = "Lead 5";
416         } else if (paddedBase2[0] == 0 && paddedBase2[1] == 1){
            ecg_leadmode = "Lead I";
418         } else if (paddedBase2[0] == 1 && paddedBase2[1] == 0){
            ecg_leadmode = "Lead II";
420         } else if (paddedBase2[0] == 1 && paddedBase2[1] == 1){
            ecg_leadmode = "Lead III";
422         }
    }

```

```

424         $('output[name=ecg_signal_status]').val(ecg_signal);
426         $('output[name=ecg_lead_status]').val(lead_status);
428     }
430     // console.log(data);
432     });
434     function pad(number, length) {
436         var str = '' + number;
438         while (str.length < length) {
440             str = '0' + str;
442         }
444         return str;
446     }
448     update();
450 });
452 </script>
454 <body>
456 <div id="menu" class="unhidden w3-container w3-section w3-row-padding">
458   <div id="simulate" class="w3-container w3-section w3-row-padding">
460     <div class="w3-col l3 s3 m3">
462       <button class="w3-btn-block w3-teal" id="simulaattori">Simulate
464       chair</button>
466     </div>
468   </div>
470   <div class="w3-container w3-section">
472     <h2 id="chair_status"></h2>
474   </div>
476   <div id="chair_menu" class="w3-container w3-section"></div>
478 </div>
480 <div id="results" class="hidden w3-container w3-section w3-row-padding">
482   >
484   <ul class="w3-navbar w3-border w3-light-grey">
486     <li><button class="w3-btn-block w3-teal w3-left-align" id="
488       startMeasure">Start measuring</button>
490     <li><button class="w3-btn-block w3-teal w3-left-align" id="
492       stopMeasure">Stop measuring</button></li>
494     <li><button class="w3-btn-block w3-teal w3-left-align" id="
496       measureNIBP">Measure blood pressure</button></li>
498     <li><button class="w3-btn-block w3-teal w3-left-align" id="saveData">
500       Save</button></li>

```



```

470 <li><button class="w3-btn-block w3-teal w3-left-align" id="
      backToChairs">Back to Menu</button></li>
</ul>
472 <!--div id="menu" class="w3-container w3-section">
474 </div-->
<div class="w3-row">
476 <header class=" w3-container w3-teal w3-col l12 s12">
      <h1>Terttu Health Kiosk: Using chair <span id="userchair_id"></span>
      <</h1>
478 </header>
</div>
480 <div class="w3-row">
482 <div id="NiBp" class="w3-container w3-col l3 s12 m4">
      <p><b>Blood pressure status: </b><output name="nibpstatus">Not
      measured</output></p>
484 <p><b>Sys: </b><output name="sys_status" style="margin: 10px;"><--</
      output> <b>Dia: </b><output name="dia_status" style="margin: 10px;"
      ><--</output></p>
      </div>
486 <div class="w3-border-left w3-border-right w3-border-top w3-container
      w3-col l4 s12 m4">
488 <p><b>Weight status: </b><output name="weight_status" style="margin:
      10px;"><--</output><span>kg</span></p>
      <form >
490 <p>(Optional) Enter height in cm to calculate BMI</p>
      <input type="number" name="userheight" value="0" autocomplete='off'
      ></input> = <output name="bmi"></output>&nbsp;
492 <span id="weightstatus"></span>
      </form>
494 <br>
      </div>
496 <div class=" w3-border-top w3-container w3-col l5 s12 m4">
498 </div>
</div>
500 <div class="w3-container w3-border w3-row">
502 <div class="w3-col" style="width:30%">
      <p><b>SpO2 status: </b><output name="spo2status">Not measured</output>
      <</p>
504 <p><b>Oxygen saturation: </b><output name="oxy_status" style="margin:
      10px;"><--</output><span style="padding-right: 1cm">%
      </span></p>
506 <p><b>Heart rate: </b><output name="hr_status" style="margin: 10px;"
      ><--</output></p>
      </div>
508 <div class="w3-col w3-section" id="placeholder_sp02wave" style="width
      :70%;height:250px"></div>
510 <!--div class="w3-col w3-container" id="legend_sp02wave" ></div-->
<br>

```

```

512 </div>
514
516 <!--h2 id="SpO2Wave">SpO2Wave not measured</h2-->
518
520 <div class="w3-container w3-border w3-row">
521   <div class="w3-col" style="width:40%">
522     <p><b>ECG signal status: </b><output name="ecg_signal_status">Not
        measured</output></p>
523     <p><b>ECG lead status: </b><output name="ecg_lead_status">Not
        measured</output></p>
524
525     <form name="lead_selector">
526       <label for="lead_selector"><b>Select lead: </b></label><br>
527       <input type="radio" name="lead_select" value="ecg_setLeadI"> Lead I<br>
528       <input type="radio" name="lead_select" value="ecg_setLeadII" checked
529       > Lead II<br>
530       <input type="radio" name="lead_select" value="ecg_setLeadIII"> Lead
531       III<br>
532       <input type="radio" name="lead_select" value="ecg_setLead5"> Lead V<br>
533     </form>
534
535     <form name="gain_selector">
536       <label for="gain_selector"><b>Select Gain: </b></label><br>
537       <input type="radio" name="gain_select" value="ecg_gainx025"> Gain x0
538       .25<br>
539       <input type="radio" name="gain_select" value="ecg_gainx05" checked>
540       Gain x0.5<br>
541       <input type="radio" name="gain_select" value="ecg_gainx1"> Gain x1<br>
542       <input type="radio" name="gain_select" value="ecg_gainx2"> Gain x2<br>
543     </form>
544     <form name="ecg_filtermode">
545       <label for="ecg_filtermode"><b>Select Filter mode: </b></label><br>
546       <input type="radio" name="filtermode_select" value="ecg_filterOper">
547       Operation mode, 1–25Hz<br>
548       <input type="radio" name="filtermode_select" value="
549       ecg_filterMonitor" checked> Monitor mode, 0.5–75Hz<br>
550       <input type="radio" name="filtermode_select" value="
551       ecg_fildeDiagnose"> Diagnose mode, 0.05–100Hz
552     </form>
553   <br>
554 </div>
555 <div class="w3-col w3-section" id="placeholder_ecg" style="width:60%;
    height:400px"></div>
556 <div class="w3-col w3-container" id="placeholder_ecglabel" style="
    width:60%"></div>
557 <br>

```

```
552 </div>  
554 </div> <!--Results-->  
556 </body>  
    </html>
```

Listing 4: index.html

Viitteet

- [1] Avia Semiconductor. *24-Bit Analog-to-Digital Converter (ADC) for Weigh Scales*. Saatavissa: http://www.dfrobot.com/image/data/SEN0160/hx711_english.pdf Viitattu 4.1.2016.
- [2] bogde. An arduino library to interface the avia semiconductor hx711 24-bit analog-to-digital converter (adc) for weight scales., 2016. Saatavissa: <https://github.com/bogde/HX711>.
- [3] Landowski E. Oura-hyvinvointisormus haastaa aktiivisuusrannekkeet. *Tekes*, 11 2015. Saatavissa <https://www.tekes.fi/tekes/tulokset-ja-vaikutukset/caset/2015/oura-hyvinvointisormus-haastaa-aktiivisuusrannekkeet/>. Viitattu 27.6.2016.
- [4] Centers for Disease Control and Prevention. Division of nutrition, physical activity, and obesity. http://www.cdc.gov/healthyweight/assessing/bmi/adult_bmi/index.html, 2015. Viitattu 28.3.2016.
- [5] Kyle U. G. Bioelectrical impedance analysis—part i: review of principles and methods. *Clinical Nutrition*, 23:1226–1243, 2004.
- [6] Jones M. H. *A Practical Introduction to Electronic Circuits, Third Ed.* Cambridge University Press, 1995.
- [7] Makkonen J. Verenpaineen mittaust mems-paineantureilla. Master's thesis, Aalto yliopisto, 2014. Saatavissa: <https://aaltodoc.aalto.fi/handle/123456789/12723>.
- [8] McLaughlin J. Nsa looking to exploit internet of things, including biomedical devices, official says. *The Intercept*, 6 2016. Saatavissa <https://theintercept.com/2016/06/10/nsa-looking-to-exploit-internet-of-things-including-biomedical-devices-official> Viitattu 13.6.2016.
- [9] Santero J-M. Fysiologiaa suureita mittaavan hajautetun järjestelmän suunnittelu ja toteutus. Master's thesis, Aalto yliopisto, 2015. Saatavissa: <https://aaltodoc.aalto.fi/handle/123456789/19113>.
- [10] Appel L. J. ja Brands M. W. ja Daniels S. R. ja Karanja N. ja Elmer P. J. ja Sacks F. M. Dietary approaches to prevent and treat hypertension: A scientific statement from the american heart association. *Hypertension*, 47(2):296–308, 2006.
- [11] Tortora G. J. ja Derrickson B. *Principles of Anatomy and Physiology 12th Edition*. John Wiley and Sons, Inc, 2009.
- [12] Crawford J. ja Doherty L. *Practical Aspects of ECG Recording*. Cumbria, GBR, 2012.

- [13] Pickering T. G. ja Hall J. E. ja Appel L. J. ja Falkner B. E. ja Graves. J. ja Hill M. N. ja Jones D. W. ja Kurtz T. ja Sheps S. G. ja Roccella E. J. Recommendations for blood pressure measurement in humans and experimental animals: Part 1: Blood pressure measurement in humans: A statement for professionals from the subcommittee of professional and public education of the american heart association council on high blood pressure research. *Hypertension*, 45(1):142–161, 2005.
- [14] Malmivuo J. ja Plonsey R. *Bioelectromagnetism - Principles and Applications of Bioelectric and Biomagnetic Fields*. Oxford University Press, 1995. Saatavissa: <http://www.bem.fi/book/index.htm>.
- [15] Piccoli A. ja Rossi B. ja Pillon L. ja Bucciante G. A new method for monitoring body fluid variation by bioimpedance analysis: The rxc graph. *Kidney International*, 46(2):534–539, 8 1994.
- [16] Alba N.A. ja Sciabassi R.J. ja Mingui S. ja Cui X.T. Novel hydrogel-based preparation-free eeg electrode. *Neural Systems and Rehabilitation Engineering, IEEE Transactions on*, 18(4):415–423, Aug 2010.
- [17] Joshi A. ja Trout K. The role of health information kiosks in diverse settings: a systematic review. *Health Information and Libraries Journal*, 31(4):254 – 273, 2014.
- [18] Lääkärilehti. Terveyskioski vähensi terveystakeskuksen kuormaa, 2011. Saatavissa <http://www.laakarilehti.fi/ajassa/ajankohtaista/terveyskioski-vahensi-terveyskeskuksen-kuormaa/>. Viitattu 30.5.2016.
- [19] Martin D. ja Lawler J. Mengelkoch L. J. A review of the principles of pulse oximetry and accuracy of pulse oximeter estimates during exercise. *Physical Therapy*, 74(1):40–49, 1994.
- [20] Young A. J. ja Sawka M. N. O'Brien C. Bioelectrical impedance to estimate changes in hydration status. *Int J Sports Med*, 23(5), 7 2002.
- [21] QY Electronic Co Ltd. *QL-11A*. Saatavissa: <http://www.qysensor.com/uploadfile/201310/20131014104350291.pdf> Viitattu 4.1.2016.
- [22] Haymond S. Oxygen saturation a guide to laboratory assessment. *Clinical Laboratory News*, 2006. Saatavissa: <http://www.optimedical.com/pdf/articles/oxygen-saturation-laboratory-assessment.pdf>. Viitattu 31.3.2016.
- [23] Lopez S. *Pulse Oximeter Fundamentals and Design*. Freescale Semiconductor, 11 2012.
- [24] Wunker S. A new age for healthcare kiosks – five ways next generation kiosks disrupt medicine and healthcare marketing. *Forbes*, 2013. Saatavissa: <http://www.forbes.com/sites/stephenwunker/2013/07/16/>

a-new-age-for-healthcare-kiosks-five-ways-next-generation-kiosks-disrupt-medicine#5bac8dce6d71. Viitattu 23.5.2016.

- [25] Shanghai Berry electronic tech co ltd. *Patient Monitor 6750*. Saatavissa: <http://www.berry-med.com/UploadFiles/20140820130151314.pdf> Viitattu 4.1.2016.
- [26] Sitra. Terveyskioski - uudenlainen tapa hoitaa terveystilaa, 2012. Saatavissa: <http://www.sitra.fi/hyvinvointi/terveyskioski>. Viitattu 30.5.2016.
- [27] Sotera Wireless. *ViSi Mobile wireless patient monitoring system*. Saatavissa: http://www.soterawireless.com/wp-content/uploads/2013/10/new_cNIBP_clearance_PR010-100913Final.pdf Viitattu 17.2.2016.
- [28] Taltioni – maksuton ja turvallinen terveystili kaikille suomalaisille. Saatavissa: <http://www.taltioni.fi> Viitattu 3.3.2016.
- [29] United Nations Population Fund (UNFPA), New York, and HelpAge International, London. *Ageing in the Twenty-First Century: A Celebration and A Challenge*, United Nations Population Fund 605 Third Avenue, New York, NY 10158, USA hq@unfpa.org www.unfpa.org, 2012. Saatavissa: <http://www.helpage.org/download/50af6e9c8f44b>.
- [30] Yle. Terveyskioski palvelee hyvin, muttei miehiä ja nuoria, 2011. Saatavissa: http://yle.fi/uutiset/terveyskioski_palvelee_hyvin_muttei_miehia_ja_nuoria/2647733. Viitattu 30.5.2016.